

مروری بر روش‌های ریاضی سنتز منطقی مدارهای کوانتومی

■ آرزو راجایی، گروه مهندسی کامپیوتر، واحد مشهد، دانشگاه آزاد اسلامی، مشهد، ایران، rajaei@mshdiau.ac.ir

■ محبوبه هوشمند*، گروه مهندسی کامپیوتر، واحد مشهد، دانشگاه آزاد اسلامی، مشهد، ایران، houshmand@mshdiau.ac.ir

■ سید عابد حسینی، گروه مهندسی برق، واحد مشهد، دانشگاه آزاد اسلامی، مشهد، ایران، hosseyini@mshdiau.ac.ir

*نویسنده مسئول

چکیده

محاسبات کوانتومی یک روش جدید پردازش اطلاعات و حاصل ترکیب مکانیک کوانتومی، علوم کامپیوتر و نظریه اطلاعات کلاسیک است. یک گیت کوانتومی به صورت ریاضی با یک ماتریس یکانی نمایش داده می‌شود. سنتز منطقی مدارهای کوانتومی به فرایند تبدیل یک گیت کوانتومی به یک سری گیت‌های پایه قابل پیاده‌سازی در فناوری‌های کوانتومی گفته می‌شود و به دو دسته کلی مبتنی بر تجزیه و ترکیب تقسیم می‌گردد. در روش‌های دسته نخست با بهره‌گیری از روش‌های تجزیه ماتریسی و در روش دوم با استفاده از ضرب ماتریسی گیت‌ها، مدارهای کوانتومی سنتز می‌شوند. این مطالعه به دسته نخست می‌پردازد که از الگوریتم‌های ریاضی برای دستیابی به مشخصه نهایی مدار کوانتومی بهره گرفته می‌شود.

کلمات کلیدی: روش‌های ریاضی، سنتز مدارای کوانتومی، محاسبات کوانتومی، سنتز تحمل‌پذیر اشکال

A Review on Mathematical Approaches to Quantum Circuit Synthesis

■ Arezoo Rajaei, Department of Computer Engineering, Mashhad Branch, Islamic Azad University, Mashhad, Iran, rajaei@mshdiau.ac.ir

■ Mahboobeh Houshmand*, Department of Computer Engineering, Mashhad Branch, Islamic Azad University, Mashhad, Iran, houshmand@mshdiau.ac.ir

■ Seyyed Abed Hosseini, Department of Electrical Engineering, Mashhad Branch, Islamic Azad University, Mashhad, Iran, hosseyini@mshdiau.ac.ir

*Corresponding Author

Abstract

Quantum computing is a new method of information processing based on the concepts of quantum mechanics which leads to strange and powerful events in the field of quantum. Each unitary matrix represents a quantum gate. Synthesis of quantum circuits refers to the process of converting a quantum gate into a series of basic gates implementable in quantum technologies and is divided into two general categories, namely decomposition and composition-based. In the first category, quantum circuits are synthesized by using matrix decomposition methods and in the second category, they are synthesized by using matrix multiplication of gates. This study deals with the first category, which uses mathematical algorithms to achieve the final characteristic of a quantum circuit.

Keywords: Mathematical approaches, Synthesis of quantum circuits, Quantum computing, Fault-tolerant synthesis

۱- مقدمه

می توان به طور کامل با یک کامپیوتر کوانتومی مدل کرد. در سال ۱۹۹۴، شور^۶ با کمک کامپیوترهای کوانتومی توانست روشی را برای شکستن یک مسئله مهم در نظریه اعداد- تجزیه اعداد به عوامل اول [۷] تا [۸] پیدا کند. به علاوه او نشان داد که مجموعه‌های از اعمال ریاضی که برای کامپیوتر کوانتومی طراحی شده‌اند، قابلیت تجزیه اعداد بزرگ را بر روی کامپیوترهای کوانتومی، بسیار سریع تر از کامپیوترهای کلاسیک دارند. در نتیجه کشف این روش و الگوریتم جستجوی گراور [۹]، باعث شد دانشمندان زیادی به حوزه محاسبات کوانتومی علاقه‌مند شوند.

۲-۲- اصول محاسبات کوانتومی

در این بخش، اصول محاسبات کوانتومی و تعریف‌های ریاضی مربوطه مورد بررسی قرار می‌گیرند.

۲-۲-۱- کیوبیت‌ها

حالات کوانتومی را می‌توان برحسب بردارها و یا با نماد معروف تر براکت^۷ نمایش داد. کت‌ها همانند $|X\rangle$ نمایشگر بردارهای ستونی هستند و عموماً برای توصیف حالات کوانتومی به کار می‌روند. حالت $|0\rangle$ و $|1\rangle$ را X نمایشگر ترانهاده مزدوج^۸ $|X\rangle$ است. حالات پایه $|0\rangle$ و $|1\rangle$ را می‌توان به صورت $(1,0)^T$ و $(0,1)^T$ بیان کرد. هر ترکیبی از $|0\rangle$ و $|1\rangle$ ، $|\alpha\rangle + \beta|1\rangle$ ، $\alpha|0\rangle$ ، α, β ، $\alpha, \beta \in C^2$ نشان داد. $\langle x|y\rangle$ نمایشگر ضرب داخلی^۹ دو بردار است. برای نمونه چون $|0\rangle$ و $|1\rangle$ عمود هستند داریم: $\langle 0|1\rangle = 0$. نماد $\langle x|y\rangle$ نشان‌دهنده ضرب خارجی^{۱۰} دو بردار است.

یک کیوبیت^{۱۱}، یک بردار یکه، در فضای دو بعدی مختلط است که برای این فضا بردارهای پایه مشخص که با نماد $|0\rangle$ و $|1\rangle$ نمایش داده می‌شوند انتخاب شده‌اند. بردارهای پایه $|0\rangle$ و $|1\rangle$ به ترتیب هم‌تای کوانتومی بیت‌های کلاسیک ۰ و ۱ می‌باشند. برخلاف بیت‌های کلاسیک، کیوبیت‌ها می‌توانند در هر برهم نهی^{۱۲} از $|0\rangle$ و $|1\rangle$ همانند $|\alpha\rangle + \beta|1\rangle$ قرار بگیرند که α و β اعداد مختلطی هستند که

$$|\alpha|^2 + |\beta|^2 = 1$$

۲-۲-۲- گیت‌های کوانتومی

اعمال کوانتومی را می‌توان با شبکه‌ای از گیت‌ها محقق کرد. نمایش ریاضی هر گیت کوانتومی، یک تبدیل خطی است که با یک ماتریس یکانی^{۱۳} مؤثر بر روی فضای n کیوبیتی تعریف می‌گردد. ماتریس U یکانی است اگر $U^T = I = U$ ، ترانهاده مزدوج ماتریس U می‌باشد. ماتریس یکانی عمومی که بر روی n کیوبیت عمل می‌کند، با نماد $U(2^n)$ نمایش داده می‌شود. چون هر عمل یکانی، معکوس پذیر است، هر گیت کوانتومی نیز معکوس پذیر است. بنابراین اگر خروجی‌های یک گیت کوانتومی را داشته باشیم، می‌توان ورودی‌های متناظر با آن را به دست آورد.

از معروف‌ترین گیت‌های تک کیوبیتی، اعضای مجموعه پائولی^{۱۴} $P = \{I, X, Y, Z\}$ می‌باشد که از چهار عملگر زیر تشکیل شده است:

$$I \equiv \begin{bmatrix} 1 & 0 \\ 0 & 1 \end{bmatrix}, X \equiv \begin{bmatrix} 0 & 1 \\ 1 & 0 \end{bmatrix}, Y \equiv \begin{bmatrix} 0 & -i \\ i & 0 \end{bmatrix}, Z \equiv \begin{bmatrix} 1 & 0 \\ 0 & -1 \end{bmatrix}$$

I تبدیل همانی^{۱۵}، X گیت چرخش بیت^{۱۶}، Z گیت چرخش فاز^{۱۷} و ترکیبی از هر دو است. اثر این تبدیلات بر روی حالات پایه $|0\rangle$ و $|1\rangle$ به صورت زیر است.

$$\begin{aligned} X: |0\rangle &\rightarrow |1\rangle, |1\rangle \rightarrow |0\rangle \\ Y: |0\rangle &\rightarrow i|1\rangle, |1\rangle \rightarrow -i|0\rangle \\ Z: |0\rangle &\rightarrow |1\rangle, |1\rangle \rightarrow -|1\rangle \end{aligned}$$

در طول چند دهه‌ی گذشته با پیشرفت شگفت‌انگیز فناوری، روند کوچک‌سازی ترانزیستورها در ساخت تراشه‌های کامپیوتری پدیدار شده است، به گونه‌ای که امروزه ریزپردازنده‌ها دربرگیرنده‌ی بیش از صدها میلیون ترانزیستور هستند. قانون مور بیان می‌کند که در هر ۱۸ ماه تا دو سال تعداد ترانزیستورهای یک تراشه‌ی الکترونیکی دو برابر می‌شود [۱]. پیروی از قانون مور سبب می‌شود که اندازه‌ی ترانزیستورها در نهایت به اندازه‌ی اتم باشد. در چنین ابعادی قوانین کوانتومی بر ساخت تراشه‌ها حاکم خواهد شد، نه قوانین کلاسیک موجود در طراحی و ساخت تراشه‌های امروزی. بدین منظور، دانشمندان نظریه‌ی جدیدی تحت عنوان محاسبات کوانتومی بیان نمودند که در مقیاس بسیار کوچک، قوانین موردنظر، قوانین مربوط به مکانیک کوانتومی هستند [۲]. محاسبات و فناوری اطلاعات کوانتومی علم پردازش اطلاعات توسط سیستم‌های مکانیک کوانتوم است. این عرصه از علم در حقیقت شامل سه علم نظریه‌ی اطلاعات، علوم کامپیوتر و فیزیک کوانتوم است [۲-۴].

هر ماتریس یکانی نمایش دهنده ریاضی یک گیت کوانتومی است. سنتز مدارهای کوانتومی به فرایند تبدیل یک گیت کوانتومی به یک سری گیت‌های پایه اطلاق می‌شود. مسئله سنتز و بهینه‌سازی مدارهای کوانتومی یک مسئله سخت است [۵]. سنتز مدارهای کوانتومی به دو دسته کلی مبتنی بر تجزیه و ترکیب تقسیم می‌گردد. در روش‌های دسته اول با بهره‌گیری از روش‌های تجزیه ماتریسی مدارهای کوانتومی سنتز می‌شوند. در روش‌های دسته دوم با استفاده از روش‌های جستجو (به خصوص الگوریتم‌های تکاملی) اقدام به یافتن مداری متشکل از کتابخانه گیت‌های موردنظر می‌شود که مقاله مروری [۶] به بررسی این روش‌ها می‌پردازد.

ساختار ادامه این نوشته از این قرار است. در بخش ۲، پیش‌زمینه‌های موردنیاز در رابطه با محاسبات کوانتومی بیان شده‌اند. در بخش ۳ کارهای مرتبط در زمینه سنتز مدارهای کوانتومی با استفاده از الگوریتم‌های مبتنی بر ریاضی بررسی شده‌اند. بخش ۴ به جمع‌بندی و پیشنهادهایی برای کارهای آتی می‌پردازد.

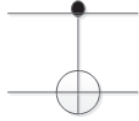
۲- پیش زمینه

۲-۱- تاریخچه محاسبات کوانتومی

محاسبات کوانتومی شاخه جدیدی از پردازش اطلاعات بر مبنای اصول مکانیک کوانتومی است. هرچند هنوز کامپیوترهای کوانتومی کاملاً عملی، ساخته نشده‌اند، اما آینده کامپیوترهای کوانتومی بسیار روشن به نظر میرسد.

برای اولین بار در دهه ۱۹۷۰ و اوایل دهه ۱۹۸۰، متخصصین فیزیک و کامپیوتر از قبیل چارلز بنت^۱، پل بنیوف^۲، دیوید دویج^۳ و ریچارد فاینمن^۴ ایده دستگاه محاسباتی بر مبنای مکانیک کوانتومی به دلیل مواجه شدن با محدودیت‌های اساسی محاسبات را مطرح کردند. آن‌ها متوجه شدند که اگر فناوری طبق قانون مور^۵ به جلو رود، اندازه عناصر مداری که بر روی تراشه‌های سیلیکونی تعبیه می‌شود، عاقبت بیشتر از چند اتم نخواهد بود. مشکلی که در اینجا پیش می‌آید این است که در اندازه اتمی، قوانین مکانیک کوانتومی بر رفتار اتم‌ها حاکم هستند، نه قوانین مکانیک کلاسیک.

در سال ۱۹۸۲، فاینمن [۷]، جزو اولین افرادی بود که مدلی انتزاعی را پیشنهاد داد که نشان می‌داد چگونه یک سیستم کوانتومی می‌تواند محاسبات را انجام دهد. سپس در سال ۱۹۸۵، دوستیج [۸]، یک مقاله‌ای را منتشر کرد که به صورت نظری نشان می‌داد هر فرآیند فیزیکی را



شکل ۱: نمایش مداری گیت CNOT

گیت‌های $C^k U$ ، بر روی k کیوبیت کنترل و یک کیوبیت هدف عمل می‌کنند. وقتی که تمام k کیوبیت کنترل در حالت $|1\rangle$ باشند، گیت U به کیوبیت هدف اعمال می‌شود.

یک ماتریس مربعی، قطری نامیده می‌شود چنانچه درایه‌های خارج از قطر اصلی آن صفر باشند. یک گیت قطری که بر روی n کیوبیت اعمال می‌شود یک ماتریس یکانی $2^n \times 2^n$ قطری دارد و با نماد Δ_n نمایش داده می‌شود. یک ماتریس مربعی می‌تواند به ماتریس‌های مربعی کوچک‌تری با اندازه‌های مساوی تقسیم شود که بلوک خوانده می‌شوند. اگر بلوک‌های خارج از قطر اصلی صفر باشند، ماتریس قطری بلوکی خوانده می‌شود.

یک ماتری پلکسر کوانتومی $[1 \ 0]$ ، m کیوبیت هدف و $s = n - m$ کیوبیت انتخاب دارد و 2^s ترکیب مختلف خطوط انتخاب مشخص می‌کنند که چه گیت کوانتومی متفاوتی به خطوط هدف اعمال شود. این مجموعه گیت‌ها، در [۱۱] با عنوان گیت‌های به‌طور یکنواخت کنترلی چندکیوبیتی^{۲۲} نامیده و به‌صورت $F_r^s(U(2^m))$ نمایش داده می‌شوند که در آن مجموعه τ کیوبیت‌های هدف را مشخص می‌کند. در حالتی که کیوبیت‌های انتخاب با ارزش‌ترین کیوبیت‌ها باشند، ماتری پلکسرهای کوانتومی یک نمایش قطری بلوکی همانند رابطه (۱) دارند که در آنها $0 \leq i \leq 2^{n-m} - 1$ ، $U_i(2^m)$ یک ماتریس یکانی $2^m \times 2^m$ است.

$$U(2^n) = \begin{bmatrix} U_0(2^m) & \dots & 0 \\ \vdots & \ddots & \vdots \\ 0 & \dots & U_{2^{n-m}-1}(2^m) \end{bmatrix} \quad (1)$$

یک خط انتخاب در یک ماتری پلکسر کوانتومی همان‌گونه که در [۱۰] استفاده شده است، با \square نمایش داده می‌شود. اگر تنها یک خط انتخاب داشته باشیم، رابطه (۱) به شکل رابطه (۲) در خواهد آمد که در این صورت ماتریس $U(2^m)$ را با نماد $U = U_0(2^{n-1}) \oplus U_1(2^{n-1})$ نمایش می‌دهیم. اگر کیوبیت اول در حالت $|0\rangle$ باشد، بر روی کیوبیت دوم U_0 ، و اگر در حالت $|1\rangle$ باشد، بر روی کیوبیت دوم U_1 اعمال می‌شود.

$$U = \begin{bmatrix} U_0 & 0 \\ 0 & U_1 \end{bmatrix} \quad (2)$$

در حالتی که تنها یک کیوبیت هدف (با نام t) داریم و گیت‌های کوانتومی اعمال شده در خط هدف t ، R_p ، $p \in \{x, y, z\}$ باشند، ماتری پلکسر کوانتومی، R_p ماتری پلکس شده نامیده می‌شود.

۲-۲-۳- مدارهای کوانتومی

یکی از مدل‌های محاسبات کوانتومی، مدل مداری از گیت‌های کوانتومی است. در این مدل، محاسبات کوانتومی با مدارهای کوانتومی نمایش داده می‌شوند. یک مدار کوانتومی، از مجموعه‌ای از سیم‌های افقی (کیوبیت‌ها) و یک توالی از گیت‌های کوانتومی تشکیل می‌گردد. در این مدل، یک ثبات کوانتومی در یک وضعیت تعریف شده اولیه قرار می‌گیرد. وضعیت آن با یک سری اعمال یکانی (گیت‌ها) بر روی وضعیت اولیه تغییر می‌کند تا به یک وضعیت نهایی برسیم. سپس

این ماتریس‌ها، یکانی و هرمیتی هستند. از دیگر گیت‌های پرکاربرد تک کیوبیتی دیگر، گیت‌های دوران به دور محورهای x ، y و z با زاویه α هستند که به ترتیب با ماتریس‌های زیر نمایش داده می‌شوند:

$$R_x(\alpha) = \begin{bmatrix} \cos \frac{\alpha}{2} & i \sin \frac{\alpha}{2} \\ i \sin \frac{\alpha}{2} & \cos \frac{\alpha}{2} \end{bmatrix}$$

$$R_y(\alpha) = \begin{bmatrix} \cos \frac{\alpha}{2} & -\sin \frac{\alpha}{2} \\ \sin \frac{\alpha}{2} & \cos \frac{\alpha}{2} \end{bmatrix}$$

$$R_z(\alpha) = \begin{bmatrix} e^{-i\frac{\alpha}{2}} & 0 \\ 0 & e^{i\frac{\alpha}{2}} \end{bmatrix}$$

از جمله گیت‌های تک کیوبیتی پرکاربرد دیگر، گیت‌های هادامارد^{۱۸} (H)، گیت فاز^{۱۹} (P) و گیت T است. ماتریس‌های مربوط به این گیت‌ها در ادامه آورده شده است.

$$H = \frac{1}{\sqrt{2}} \begin{bmatrix} 1 & 1 \\ 1 & -1 \end{bmatrix},$$

$$P = \begin{bmatrix} 1 & 0 \\ 0 & e^{i\pi} \end{bmatrix} = \begin{bmatrix} 1 & 0 \\ 0 & i \end{bmatrix}, \quad P^\dagger = \begin{bmatrix} 1 & 0 \\ 0 & e^{-i\pi} \end{bmatrix}$$

$$T = \begin{bmatrix} 1 & 0 \\ 0 & e^{i\frac{\pi}{4}} \end{bmatrix}, \quad T^\dagger = \begin{bmatrix} 1 & 0 \\ 0 & e^{-i\frac{\pi}{4}} \end{bmatrix}$$

اگر U ، یک گیت تک کیوبیتی، با نمایش ماتریسی

$$U = \begin{bmatrix} u_{00} & u_{01} \\ u_{10} & u_{11} \end{bmatrix}$$

باشد، آنگاه، گیت U کنترلی^{۲۰}، گیتی است که بر دو کیوبیت اثر می‌کند به‌طوری که کیوبیت اول، کیوبیت کنترل و کیوبیت دوم، کیوبیت هدف است. اگر کیوبیت کنترلی برابر $|1\rangle$ باشد، گیت یکانی U بر روی کیوبیت هدف اعمال می‌شود و اگر کیوبیت کنترل، $|0\rangle$ باشد، کیوبیت هدف بدون تغییر باقی می‌ماند. نمایش ماتریسی این گیت به‌صورت زیر است:

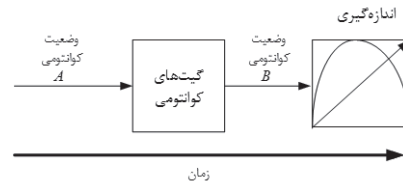
$$\text{Controlled-}U \equiv \begin{bmatrix} 1 & 0 & 0 & 0 \\ 0 & 1 & 0 & 0 \\ 0 & 0 & u_{00} & u_{01} \\ 0 & 0 & u_{10} & u_{11} \end{bmatrix}$$

گیت معکوس کننده-کنترلی^{۲۱}، CNOT، یک گیت دوکیوبیتی است. کیوبیت اول، در نقش کنترل و کیوبیت دوم در نقش هدف است. اگر کیوبیت کنترل، $|1\rangle$ باشد، CNOT، کیوبیت هدف را معکوس می‌کند و اگر کیوبیت کنترل، $|0\rangle$ باشد، کیوبیت هدف بدون تغییر خارج می‌شود. به عبارت دیگر، خروجی دوم، XOR کیوبیت کنترل و هدف می‌باشد. نمایش مداری گیت CNOT به‌صورت زیر است:

$$\text{CNOT} \equiv \begin{bmatrix} 1 & 0 & 0 & 0 \\ 0 & 1 & 0 & 0 \\ 0 & 0 & 0 & 1 \\ 0 & 0 & 1 & 0 \end{bmatrix}$$

شکل (۱) نمایش مداری گیت CNOT را نشان می‌دهد.

وضعیت نهایی در پایه‌های محاسباتی اندازه‌گیری می‌شود. یک مدار کوانتومی همواره از چپ به راست ارزیابی می‌شود؛ بنابراین حرکت از چپ به راست در یک مدار کوانتومی به معنای حرکت به جلو در زمان است [۱۲]. محاسبات کوانتومی که با مدارهای کوانتومی مدل شده، در شکل (۲) نشان داده شده است.



شکل ۲: محاسبات کوانتومی که با مدارهای کوانتومی مدل شده است [۲۱]. مدارهای کوانتومی تفاوت بسیاری با مدارهای کلاسیک دارند از جمله:

- مدارهای کوانتومی فاقد هرگونه دور^{۲۳} و گنجایش خروجی^{۲۴} هستند.
- در مدارهای کوانتومی، تعداد کیوبیت‌های ورودی با تعداد کیوبیت‌های خروجی همیشه یکسان بوده و پیش از عمل اندازه‌گیری، می‌توان از حالت خروجی به حالت ورودی دست یافت.

۲-۴- انواع کتابخانه‌های گیت‌های کوانتومی

چندین کتابخانه از گیت‌های کوانتومی برای سنتز مدارهای کوانتومی معرفی شده‌اند که معروف‌ترین آنها عبارتند:

- کتابخانه گیت‌های پایه‌ای که از گیت‌های CNOT و کلیه گیت‌های کوانتومی تک کیوبیتی تشکیل شده است.
- کتابخانه گیت‌های ابتدایی که از گیت‌های CNOT و گیت‌های دوران تک کیوبیتی تشکیل شده است.
- کتابخانه کلیفورد^{۲۵} (CTL) که از گیت‌های CNOT، H، P و T تشکیل شده است. این کتابخانه یک کتابخانه تقریباً جهانی هست.

۲-۵- معیارهای ارزیابی مدار کوانتومی

تعداد گیت‌های تک کیوبیتی و CNOT: تعداد گیت‌هایی که برای سنتز منطقی مورد استفاده قرار می‌گیرند، معیاری برای ارزیابی روش‌های سنتز منطقی است. به‌طور کلی بر اساس کتابخانه‌های تعریف‌شده، در مدارهای کوانتومی این هزینه شامل گیت‌های تک کیوبیتی و گیت CNOT تولید شده است.

• **هزینه کل گیت‌ها:** این معیار برابر با تعداد کل گیت‌های تولیدشده در روش سنتز منطقی مدارهای کوانتومی است.

• **عمق مدار:** گیت‌های پایه‌ای که در یک مدار کوانتومی می‌توانند باهم اجرا شوند به‌عنوان یک سطح منطقی^{۲۶} در نظر گرفته می‌شوند [۱۳]. تعداد سطوح منطقی یک مدار، عمق منطقی مدار^{۲۷} نامیده می‌شود. عمق یک مدار کوانتومی C، نشان داده شده با D_c ، می‌تواند از رابطه (۳) به دست آید که در آن، T_c تعداد کل گیت‌ها و P_c تعداد گیت‌هایی در مدار C که موازی هستند را نشان می‌دهد.

$$D_c = T_c - P_c \quad (3)$$

• **هزینه نزدیک‌ترین همسایه (NNC):** یک گیت دو کیوبیتی کوانتومی نظیر g در نظر بگیرید که در آن کیوبیت کنترل و کیوبیت هدف به ترتیب بر روی خط C و خط t ام مدار قرار گرفته است ($0 \leq C, t < n$). در این صورت NNC^{۲۸} برای این گیت به‌صورت تعریف می‌شود (فاصله بین کیوبیت‌های کنترل و هدف). بر این اساس، NNC برای یک مدار به‌صورت حاصل جمع NNC گیت‌ها خواهد بود.

• **تعداد گیت T:** تعداد کل گیت‌های T استفاده‌شده در مدار کوانتوم است.

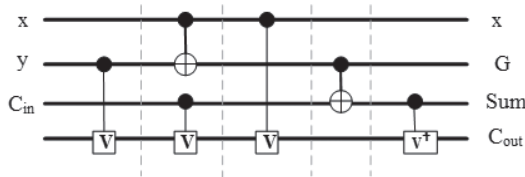
• **عمق گیت^{۲۹} T:** تعداد لایه‌های گیت T در مدار است، جایی که یک لایه شامل عملیات کوانتومی است که می‌تواند به‌طور هم‌زمان انجام شود.

• **تعداد کیوبیت (خطوط) کمکی^{۳۰}:** خطوط کمکی، خطوطی هستند علاوه بر ورودی و خروجی اصلی تابع موردنظر به مدار اضافه می‌شوند و بر مبنای کاربرد به دو دسته تقسیم می‌شوند:

۱- دسته نخست حالتی است که کیوبیت‌های کمکی به مدار اضافه می‌شوند تا یک تابع معکوس‌ناپذیر را به یک تابع معکوس‌پذیر تبدیل کنند. در این حالت می‌توان حداقل و حداکثری برای مقدار کیوبیت‌های کمکی موردنیاز برای معکوس کردن مدار، در نظر گرفت.

۲- دسته دوم حالتی است که مدار موردنظر معکوس‌پذیر است؛ به عبارت دیگر با همان تعداد ورودی (خروجی) می‌توان مدار را سنتز کرد؛ اما کیوبیت‌های کمکی به دلایل مختلفی چون کاهش هزینه کوانتومی [۱۴]، [۱۵] و کاهش عمق [۱۶] به مدار اضافه می‌شوند و در الگوریتم‌های سنتز [۱۳] و یا بهینه‌سازی از آن استفاده می‌شود.

مثال ۱: در شکل (۳) یک مدار ساده از نظر هزینه کوانتومی و نیز فشرده شده از نظر عمق برای تمام جمع‌کننده نشان داده شده است [۱۷]. سطوح منطقی مدار با نقطه‌چین از یکدیگر جدا شده‌اند. هزینه کوانتومی این مدار برابر ۶ و عمق آن معادل ۴ است. به دلیل آنکه تعداد کیوبیت‌های درگیر در خط چهارم مدار برابر ۴ است، عمق ۴ در این مدار بهینه خواهد بود. NNC این مدار برابر عدد ۳ است. در این مدار یک کیوبیت کمکی برای معکوس‌پذیر کردن تابع استفاده شده است. تعداد خروجی اصلی این مدار ۲ است، بنابراین ۲ خروجی x و G به‌عنوان خروجی بدون استفاده در نظر گرفته می‌شوند.



شکل ۳: مدار ساده‌شده از نظر هزینه با سطوح منطقی فشرده‌شده برای یک تمام جمع‌کننده [۱۷]

۲-۶- مساله بهینه‌سازی چند هدفه

یک مساله بهینه‌سازی چندهدفه^{۳۱} را می‌توان را به شکل زیر فرمول‌بندی کرد:

$$\begin{aligned} \text{Minimize } F(x) &= (f_1(x), f_2(x), \dots, f_n(x)) \\ \text{with } x &= (x_1, x_2, \dots, x_m) \in X \\ \text{subject to } g(x) &= (g_1(x), g_2(x), \dots, g_k(x)) \leq 0 \\ x_1 &\in D_1, x_2 \in D_2, \dots, x_n \in D_n \end{aligned}$$

که در آن x برداری از m متغیر است، X فضای تصمیم‌گیری است، هر مؤلفه از $F(x)$ ، یک تابع هدف^{۳۲} است و $g(x)$ برداری از k محدودیت^{۳۳} است که یک ناحیه ممکن^{۳۴} X_f را تعریف می‌کند. هر نقطه از $x \in X_f$ ، یک جواب ممکن^{۳۵} است.

طبقه این تعریف، یک مسئله بهینه‌سازی مقید دارای مجموعه‌ای از متغیرها (x_1, x_2, \dots, x_m) است که به‌عنوان متغیرهای بهینه‌سازی^{۳۶} شناخته می‌شوند. تابعی $F(t)$ با نام تابع هدف بر روی متغیرهای بهینه‌سازی اعمال می‌شود و این تابع بایستی کمینه گردد. همچنین، مجموعه‌ای از قیدها می‌توانند به‌صورت تساوی (=) و یا نامساوی (\leq یا \geq) بر روی متغیرهای بهینه‌سازی اعمال شوند. مجموعه‌های D_1, D_2, \dots, D_n به ترتیب به‌عنوان

دامنه‌های متغیرهای x_1, x_2, \dots, x_n هستند که می‌توانند به‌عنوان قیدهای دامنه‌ای (یا محدودیت) در مسئله بهینه‌سازی مقید بیان شوند. این نکته لازم است عنوان شود که محدودیت را می‌توان در برخی موارد به‌صورت قیدهای تساوی و یا نامساوی نیز بیان کرد. به‌عنوان مثال، محدودیت نامنفی بودن متغیر x_i را می‌توان به‌صورت قید نامساوی $-x_i \leq 0$ نوشت. در بهینه‌سازی چند هدفه، هدف بهینه‌سازی هم‌زمان

بیشتر از یک تابع هدف مختلف و گاه متضاد است. یکی از روش‌های حل بهینه‌سازی چند هدفه، پیدا کردن مجموعه‌ی جواب بهینه پرتو است که در آن مجموعه جواب‌های غیرغالب در تمام فضای جستجو ارائه می‌شود. یک جواب غیرغالب خوانده می‌شود اگر مقدار هیچ یک از توابع هدف آن نتواند بدون خراب کردن برخی دیگر از توابع هدف بهتر شود.

۳- روش‌های سنتز منطقی مبتنی بر روابط ریاضی

حوزه محاسبات کوانتومی مدرن، با کشف توزیع کلید کوانتومی [۱۸]، توانایی ارسال یک بیت کوانتومی به کمک دو بیت کلاسیک و یک بیت درهم تنیدگی (مخابره از راه دور کوانتومی [۱۹])^{۲۸} و توانایی ارسال دو بیت کلاسیک با ارسال یک بیت کوانتومی و یک بیت درهم تنیدگی (کدگذاری چگال کوانتومی [۲۰])^{۲۹} آغاز شد. سپس محققین، تلاش‌های عمیق‌تری برای ترکیب منابع مخابرات کلاسیک، مخابرات کوانتومی و درهم‌تنیدگی برای فرمول‌بندی پروتوکول‌های جدید کوانتومی انجام دادند.

برای درک مفهوم سنتز در مدارهای کوانتومی می‌توان آن را با مسئله‌ی سنتز مستقل از تکنولوژی^{۴۰} در دنیای کلاسیک هم‌ارز دانست. در دنیای کلاسیک هنگامی که در سطح بالا توصیفی از عملکرد مدار وجود داشته باشد، در اولین گام سعی می‌شود با استفاده از کتابخانه‌ی گیت‌های پایه‌ی کلاسیک (مانند AND) این توصیف را بیان کرده و تا حد امکان با توجه به محدودیت‌های مداری و بدون در نظر گرفتن بستری که مدار در آن پیاده‌سازی خواهد شد، آن را ساده‌سازی کرد. مشابه این تعریف در دنیای کوانتوم با عملگرهای کوانتومی امکان‌پذیر است.

همان‌طور که پیش‌تر گفته شد، روش‌های سنتز مدارهای کوانتومی به دو دسته مبتنی بر تجزیه و مبتنی بر ترکیب تقسیم می‌شوند. در روش مبتنی بر ترکیب از الگوریتم‌های تکاملی استفاده می‌شود. الگوریتم‌های تکاملی از روش‌ها و عملیات ابتدایی برای حل مساله استفاده می‌کنند و در طی یک سری از تکرارها به راه‌حل مناسب برای مسئله می‌رسند. این الگوریتم‌ها غالباً از یک جمعیت حاوی راه‌حل‌های تصادفی شروع می‌کنند و در طی هر مرحله تکرار سعی در بهتر کردن مجموعه راه‌حل‌ها دارند. در آغاز کار تعدادی از اعضای جامعه به‌صورت تصادفی حدس زده شده، سپس تابع هدف یا برازندگی برای هر یک از این اعضا محاسبه و نخستین نسل ایجاد خواهد شد. اگر هیچ یک از معیارهای خاتمه بهینه‌سازی دیده نشوند، ایجاد نسل جدید آغاز خواهد شد. اعضا برحسب میزان شایستگی‌شان برای تولید فرزندان انتخاب می‌شوند. این افراد به‌عنوان والدین محسوب می‌شوند و بازترکیب فرزندان را تولید می‌نمایند. سپس تمامی فرزندان با یک مقدار معینی از احتمال، یعنی همان جهش، تغییر ژنتیکی می‌یابند. اکنون میزان شایستگی (برازندگی) فرزندان تعیین و در اجتماع جایگزین والدین شده و نسل جدید را ایجاد می‌نمایند. این چرخه آنقدر تکرار می‌شود تا یکی از معیارهای پایان بهینه‌سازی کسب شود. این روش‌ها از نظر یافتن به مدار کوانتومی با کاربرد خاص بهینه‌سازی شده، و امکان در نظر گرفتن هم‌زمان چند معیار بهینه‌سازی حائز اهمیت هستند.

یکی از مشکلاتی که در سنتز منطقی کوانتومی مبتنی بر ترکیب وجود دارد محدود بودن تعداد کیوبیت‌ها است، چون فضای جستجوی بسیار بزرگی برای یافتن جواب بهینه وجود دارد و ارزیابی تابع برازندگی برای هر جواب نامزد به زمان زیادی نیاز دارد، به طوریکه در پژوهش‌هایی که تا کنون انجام شده، این نوع سنتز روی مدارهایی با حداکثر تعداد ۵ کیوبیت جواب می‌دهند [۶].

با استفاده از ویژگی‌های ماتریسی مدار و گیت‌های کوانتومی و نیز تعریف گیت‌های خاص و روش‌های تجزیه آنها با توجه به روش‌های تجزیه ریاضی، ماتریس مدار موردنظر به دسته ماتریس‌های خاص که همان گیت‌های کوانتومی هستند، تجزیه می‌شود. در این بخش، مروری بر انواع مختلف روش‌های سنتز مبتنی بر ریاضی صورت می‌گیرد.

۳-۱- استفاده از تجزیه QR در جبر خطی

مقاله [۲۱] نشان می‌دهد که تکنیک‌های استاندارد جبر خطی عددی را می‌توان برای نمایش محاسبات کوانتومی به‌عنوان دنباله‌ای از عملیات کوانتومی ساده که عملگرهای داده‌های کوانتومی نامیده می‌شوند، روی تک کیوبیت‌های کوانتومی استفاده کرد. در نتیجه تعداد گیت‌های CNOT در مرتبه $O(n^3 4^n)$ حاصل می‌گردد.

۳-۲- استفاده از بیش‌ترین کران پایین

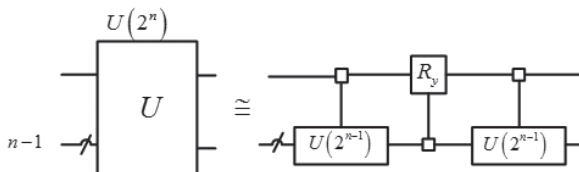
مقاله [۲۲]، مدارهای کوانتومی ارائه می‌دهد که یک عملگر واحد دو کیوبیتی دلخواه را تا یک فاز جهانی شبیه‌سازی می‌کند. برای چندین کتابخانه گیت کوانتومی، ثابت می‌کند که شمارش گیت‌ها در بدترین و متوسط حالت بهینه است به این معنا که بیش‌ترین کران پایین^{۴۲} برای تعداد CNOTها برابر با $\lfloor \frac{1}{4}(4^n - 3n - 1) \rfloor$ می‌باشد. ذخیره‌سازی موقت استفاده نمی‌شود زیرا پیاده‌سازی فیزیکی گران است. با مشخص شدن این حد مرزی امکان محاسبه فاصله مقادیر محاسبه شده در روش‌های معرفی شده تا حالت بهینه شناخته شده تا کنون (یعنی سنتز با کم‌ترین تعداد CNOT) میسر شده است.

۳-۳- روش تجزیه CS

تجزیه CS [۲۳] برای ماتریس دلخواه یکان $2^n \times 2^n$ با نام U ، با استفاده از رابطه (۴) انجام می‌شود که در این رابطه ماتریس‌های R_1, L_1, R_2 و L_2 ماتریس‌های یکانی $2^{n-1} \times 2^{n-1}$ و S و C ماتریس‌های $2^{n-1} \times 2^{n-1}$ یکانی قطری با مقادیر حقیقی هستند به طوری که $C^2 + S^2 = I_{n-1}$.

$$U = \begin{bmatrix} L_1 & 0 \\ 0 & L_2 \end{bmatrix} \begin{bmatrix} C & S \\ -S & C \end{bmatrix} \begin{bmatrix} R_1 & 0 \\ 0 & R_2 \end{bmatrix} \quad (4)$$

سمت چپ و راست رابطه (۴)، گیت‌های به‌طور یکنواخت کنترل‌ی چند کیوبیتی هستند. ماتریس میانی، ساختار یکسانی با گیت R_y ماتریس بلکس شده‌ای دارد که کیوبیت هدف آن با ارزش‌ترین کیوبیت است. از این‌رو نمایش مداری این تجزیه همانند شکل (۴) است.



شکل ۴: شکل مداری تجزیه SC [۲۲]

۳-۴- روش سنتز CSD

در روش معرفی‌شده در [۲۴] الگوریتم سنتزی تحت عنوان CSD^{۴۳} پیشنهاد شده است که از روش تجزیه CS برای تجزیه ماتریس دلخواه یکانی $U(2^n)$ استفاده می‌کند. در این الگوریتم، تجزیه CS به‌صورت

به‌طور یکنواخت کنترلی مجاورشان، رابطه (۸) به‌دست‌آمده است.

$$F_n^{n-1}(U(2)) = \Delta_n \tilde{F}_n^{n-1}(U(2)) \quad (7)$$

$$U(2^n) = \Delta_n \tilde{F}_n^{n-1}(U(2)) \prod_{i=1}^{2^n-1} \tilde{F}_{n-\gamma(i)}^{n-1}(R_\gamma) \tilde{F}_n^{n-1}(U(2)) \quad (8)$$

همان‌طور که مشاهده می‌شود، در روش CSD با شروع از تجزیه CS و ادامه آن به‌صورت بازگشتی، گیت‌های به‌طور یکنواخت کنترلی تک‌کیوبیتی تولید می‌شوند. روش تجزیه‌ای برای این دسته از گیت‌ها معرفی شده است که آن‌ها را به گیت‌های CNOT و گیت‌های تک‌کیوبیتی (کتابخانه گیت‌های پایه‌ای) تبدیل می‌کند. با ارائه راه‌کارهایی هزینه مدار تولیدشده با کاهش تعداد گیت‌ها بهبود پیدا می‌کند.

نمایشی از تجزیه مدار سه کیوبیتی با استفاده از روش سنتز CSD در شکل (۸) نشان داده شده است. زنجیره گیت‌های R_z در انتهای مدار تجزیه گیت قطری Δ_3 را نشان می‌دهد. نماد \tilde{U} در این شکل به منظور نمایش گیت‌های هدف در گیت‌های $\tilde{F}_i^m(U(2))$ که در بالا معرفی شدند به کار رفته است.

تعداد CNOT‌های هر گیت به‌طور یکنواخت کنترلی تک‌کیوبیتی برابر با $2^{n-1}-1$ و تعداد تک‌کیوبیتی‌های آنها برابر با 2^{n-1} است. برای محاسبه تعداد CNOT‌های کل تولیدشده در این روش کافی است تعداد گیت‌های به‌طور یکنواخت کنترلی تک‌کیوبیتی را در تعداد گیت‌های CNOT هر کدام ضرب کرده و عدد به‌دست‌آمده را با تعداد گیت‌های CNOT گیت قطری تولیدشده در انتهای مدار جمع کنیم تا هزینه نهایی مدار حاصل شود. با بهینه‌سازی که در [۱۳] معرفی شده، تعداد CNOT‌ها یک واحد و تعداد تک‌کیوبیتی‌ها n واحد بیشتر کاهش یافته و به ترتیب به‌صورت $\frac{1}{2}4^n - 2^{n-1} - 2$ و $\frac{1}{2}4^n - 2^{n-1} - n - 1$ محاسبه می‌شوند.

۳-۵- روش سنتز QSD

در مقاله [۱۰]، ماتریس‌های قرارگرفته در سمت راست و نیز سمت چپ رابطه (۵) را می‌توان با گیت $F_\tau^1(U(2^{n-1}))$ نشان داد. به‌علاوه، ماتریس میانی نشان داده‌شده در این رابطه برابر است با گیت $F_\tau^{n-1}(R_\gamma)$. بدین ترتیب رابطه (۵) در نمایش گیتی خود می‌تواند به‌صورت رابطه (۹) نوشته شود.

$$U(2^n) = F_\tau^1(U_1(2^{n-1})) F_\tau^{n-1}(R_\gamma) F_\tau^1(U_2(2^{n-1})) \quad (9)$$

در [۸] نشان داده‌شده است که هر ماتریس قطری بلوکی می‌تواند به رابطه (۱۰) تجزیه شود.

$$\begin{bmatrix} U_1 & 0 \\ 0 & U_2 \end{bmatrix} = \begin{bmatrix} V & 0 \\ 0 & V \end{bmatrix} \begin{bmatrix} \Delta & 0 \\ 0 & \Delta^\dagger \end{bmatrix} \begin{bmatrix} W & 0 \\ 0 & W \end{bmatrix} \quad (10)$$

ماتریس‌های V و Δ به‌صورت زیر از U_2 و U_1 به دست می‌آیند.

$$U_1 U_2^\dagger = V \Delta^2 V^\dagger$$

V و Δ می‌توانند از U_1 و U_2^\dagger با روش استاندارد قطری‌سازی [۲۵] استخراج شوند. همچنین $W = \Delta V^\dagger U_2$ در رابطه (۱۱) نمایش این رابطه با گیت، نشان داده شده است.

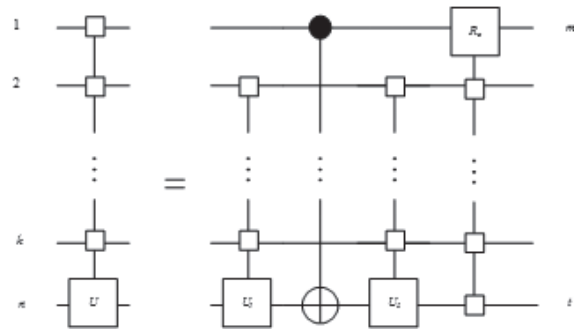
$$F_\tau^1(U(2^{n-1})) = U(2^{n-1}) F_\tau^{n-1}(R_z) U(2^{n-1}) \quad (11)$$

بازگشتی بر روی گیت‌های به‌طور یکنواخت کنترلی چندکیوبیتی در رابطه (۴) اعمال می‌شود و تا زمانی که همه گیت‌ها به گیت‌های به‌طور یکنواخت کنترلی تک‌کیوبیتی تبدیل شوند، روند بازگشتی ادامه می‌یابد. روند سنتز روش CSD به‌طور دقیق‌تر در رابطه (۵) نشان داده شده است. در این رابطه $\gamma(i)$ تابع خط‌کش^{۴۴} معرفی شده در [۲۴] است. $\gamma(i)+1$ محل کم‌ارزش‌ترین بیت غیرصفر را در نمایش دودویی i نشان می‌دهد.

$$U(2^n) = F_n^{(n-1)}(U(2)) \prod_{i=1}^{(2^n-1)} F_{(n-\gamma(i))}^{(n-1)}(R_\gamma) F_n^{(n-1)}(U(2)) \quad (5)$$

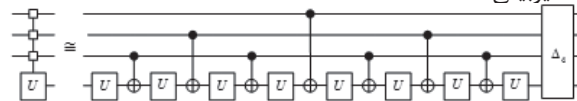
گیت‌هایی که در رابطه (۵) ظاهر شده‌اند، می‌توانند با استفاده از رابطه (۶) تجزیه و به سه گیت با اندازه‌های کوچک‌تر و یک گیت CNOT تبدیل شوند. در این رابطه گیت CNOT با نماد $C^{l,n}$ نشان داده شده که l و n به ترتیب محل بیت کنترلی و بیت هدف را مشخص می‌کنند. نمایش این تجزیه در شکل (۵) نشان داده شده است.

$$F_n^{n-1}(U(2)) = F_n^{n-2}(U(2)) C^{l,n} F_n^{n-2}(U(2)) F_n^{n-1}(R_z) \quad (6)$$



شکل ۵: روند بازگشتی تجزیه مربوط به رابطه (۵) [۲۴]

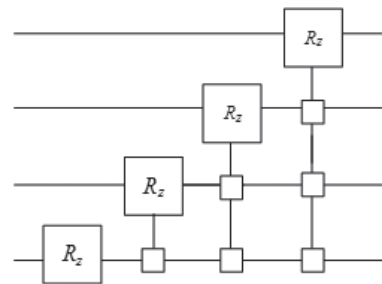
با ادامه رابطه (۶) به‌صورت بازگشتی، مداری با 2^n-1 گیت به‌طور یکنواخت کنترلی تک‌کیوبیتی و یک گیت قطری Δ_n به‌دست می‌آید. گیت Δ_n قابل تجزیه به مداری با 2^n-2 گیت CNOT و گیت تک‌کیوبیتی است [۲۵].



شکل ۶: تجزیه یک گیت قطری بلوکی با چهار کیوبیت [۵۲]

در شکل (۶) تجزیه گیت به‌طور یکنواخت کنترلی تک‌کیوبیتی با چهار کیوبیت نشان داده شده است.

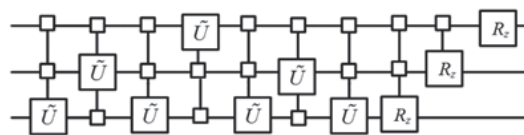
گیت Δ_n ظاهر شده در انتهای تجزیه گیت قطری بلوکی U ، با زنجیره‌های از گیت‌های قطری بلوکی همانند شکل (۷) قابل پیاده‌سازی است.



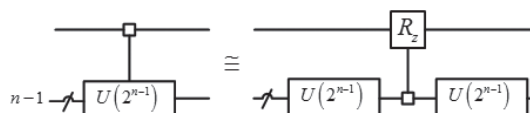
شکل ۷: تجزیه گیت قطری [۵۲]

در [۲۴] به‌منظور کاهش تعداد گیت‌های CNOT، با معرفی رابطه (۷) و جایگذاری آن در رابطه (۵) و نیز ادغام گیت‌های با گیت‌های Δ_n

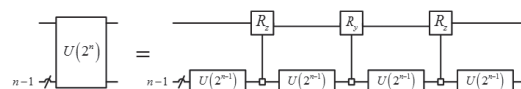
عمل تجزیه این ماتریس‌ها در شکل (۹) نشان داده شده و این عمل تجزیه دی‌مالتی‌پلکس کردن یک مالتی‌پلکسر نامیده شده است.



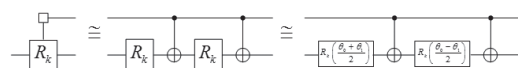
شکل ۸: مثالی از تجزیه گیت سه کیوبیتی با روش DSC [۴۲]



شکل ۹: نمایش مداری رابطه (۱۱) [۸]



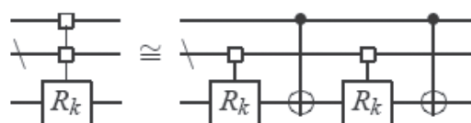
شکل ۱۰: روش سنتز DSQ برای [۸]



شکل ۱۱: تجزیه گیت قطری بلوکی بر روی دو کیوبیت [۸]

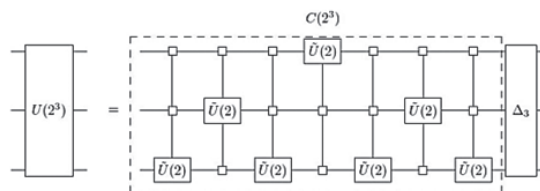
با جایگذاری رابطه (۱۱) در رابطه (۹) رابطه (۱۲) به دست می‌آید که عمل QSD^{۴۵} را نشان می‌دهد. این رابطه بازگشتی تا ادامه داده می‌شود و مدار بهینه به دست آمده برای $U(4)$ در [۲۴] با سه گیت CNOT، به جای آن قرار داده می‌شود.

در شکل (۱۰) روش سنتز QSD نشان داده شده است. به این ترتیب ماتریس $U(2^n)$ به چهار ماتریس $U(2^{n-1})$ و سه گیت R_k ($k \in \{y, z\}$) تبدیل می‌شود. همان‌طور که مشاهده می‌شود در روش QSD از گیت‌های R_y و R_z مالتی‌پلکس شده برای سنتز مدار استفاده می‌شود. روش معرفی شده برای سنتز گیت‌های فوق در [۸] در ادامه بررسی می‌شود. تجزیه گیت R_k قطری بلوکی بر روی دو کیوبیت در شکل (۱۱) نشان داده شده است که در این شکل $k \in \{y, z\}$ می‌باشد. با تعمیم شکل (۱۱) و افزودن کیوبیت انتخاب به دو طرف رابطه می‌توان به شکل (۱۲) رسید.



شکل ۱۲: تجزیه بازگشتی گیت قطری بلوکی R_k [۸]

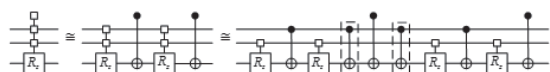
با جایگذاری بازگشتی شکل‌ها در یکدیگر می‌توان به تجزیه نهایی



شکل ۱۴: مدار حاصل از سنتز سه کیوبیتی با روش DSC [۶۲].

گیت قطری بلوکی R_k رسید. مدار نهایی تنها از گیت‌های CNOT و گیت‌های تک کیوبیتی تشکیل شده است. مثالی از این تجزیه برای 4 کیوبیت در شکل (۱۳) نشان داده شده است.

لازم به ذکر است که تجزیه نشان داده شده در شکل (۱۳) و حالت‌های تعمیم یافته آن متقارن^{۴۶} است. بنابراین با جایگذاری وارون تجزیه به جای گیت قطری بلوکی دوم در شکل (۱۳) (همان‌طور که در مدار سمت راست مشاهده می‌شود)، می‌توان تعدادی گیت CNOT را در هر مرحله جایگذاری حذف کرد. تعداد CNOT‌های نهایی برای گیت قطری بلوکی R_k برابر 2^m می‌باشد که m تعداد کیوبیت‌های انتخاب را در گیت قطری بلوکی مورد نظر نشان می‌دهد. موضوع مهمی که باقی می‌ماند این است که سطحی^{۴۷} انتخاب شود که در آن بازگشت مجدد متوقف شود و موارد پایانی با تکنیک‌های هدف خاص رسیدگی شود.



شکل ۱۳: تجزیه گیت قطری بلوکی بر 4 کیوبیت [۸]

بنابراین، فرض می‌شود C_j حداقل تعداد گیت‌های CNOT مورد نیاز برای پیاده‌سازی یک عملگر یکانی j کیوبیتی با استفاده از برخی از الگوریتم‌های سنتز مدار کوانتومی باشد. با توجه به شکل (۱۰)، رابطه (۱۳) برای C_j تعریف می‌شود:

$$C_j \leq 4C_{j-1} + 3 \times 2^{j-1} \quad (13)$$

اکنون می‌توان این روش سنتز را به صورت بازگشتی اعمال کرد که با تکرار نابرابری فوق مطابقت دارد. اگر عملگرهای l -کیوبیتی ممکن است با استفاده از C_l تعداد گیت‌های CNOT پیاده‌سازی شوند، می‌توان نابرابری زیر را برای l از طریق القاء اثبات کرد.

$$C_n \leq 4^{n-l} (C_l + 3 \times 2^{l-1}) - 3 \times 2^{n-1} \quad (14)$$

در مقاله [۸]، $l = 1$ و $l = 2$ برای عملگرهای تک کیوبیتی و $l = 3$ برای عملگرهای دو کیوبیتی در نظر گرفته است.

با بهینه‌سازی‌هایی که بر روی این روش انجام می‌شود، یعنی با حذف $(4^{n-l} - 1)/3$ و اضافه کردن $4^{n-2} - 1$ در رابطه بازگشتی (۱۴) با در نظر گرفتن حالت $l = 2$ ، $C_l = 3$ تعداد CNOT‌ها برای روش QSD در رابطه (۱۵) به دست می‌آید.

$$C_n \leq \left(\frac{23}{48}\right) 4^n - \left(\frac{3}{2}\right) 2^n + \frac{4}{3} \quad (15)$$

فرض می‌شود S_j حداقل تعداد گیت‌های تک کیوبیتی مورد نیاز برای پیاده‌سازی یک عملگر یکانی j کیوبیتی با استفاده از برخی از الگوریتم‌های سنتز مدار کوانتومی باشد، رابطه بازگشتی (۱۶) برای S_j تعریف می‌شود:

$$S_j \leq 4S_{j-1} + 3 \times 2^{j-1} + 1 \quad (16)$$

اکنون می‌توان این روش سنتز را به صورت بازگشتی اعمال کرد که با تکرار نابرابری فوق مطابقت دارد. اگر عملگرهای l -کیوبیتی ممکن است با استفاده از S_l تعداد گیت‌های تک کیوبیتی پیاده‌سازی شوند، می‌توان نابرابری زیر را برای l از طریق القاء اثبات کرد.

$$S_n \leq 4^{n-l} (S_l + 3 \times 2^{l-1} + 1) - 3 \times 2^{n-1} - 1 \quad (17)$$

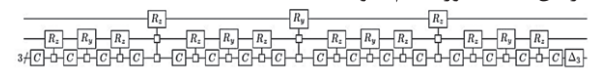
در این قسمت $a=2$ و $C_1=7$ برای عملگرهای تک کیوبیتی در نظر گرفته است. به طور مشابه و با انجام بهینه‌سازی‌هایی بر روی رابطه بازگشتی (۱۷)، تعداد گیت‌های تک کیوبیتی برای روش QSD در رابطه (۱۸) به دست می‌آید.

$$S_n \leq \frac{17}{24} 4^n - \frac{3}{2} 2^n + \frac{2}{3} \quad (18)$$

مقاله [۸]، توضیح مختصری درباره معیار NNC داده است. همه گیت‌های CNOT که از این سنتز به دست آمده‌اند، دو کیوبیتی هستند. گیت‌هایی که کیوبیت هدف و کنترل در مجاورت همدیگر قرار دارند یعنی مقدار فاصله‌شان (k) برابر با یک است، مقدار NNC شان برابر با صفر است. اما در شکل (۱۳)، 2^{n-k} گیت‌های CNOT دو کیوبیتی با طول k وجود دارد، پس NNC هر کدام از این نوع گیت CNOT برابر $k-1$ می‌باشد. در نهایت هزینه NNC کل مدار برابر با مجموع NNC تک گیت‌های CNOT می‌باشد.

۳-۶- روش سنتز BQD

در مقاله [۲۶]، با ترکیب دو روش QSD و CSD روش جدیدی به نام BQD^{۴۸} ارائه شده که موازنه‌ای^{۴۹} را بین تعداد گیت‌های CNOT و تعداد گیت‌های تک کیوبیتی فراهم می‌کند. در این روش، ابتدا سنتز بازگشتی QSD برای سنتز ماتریس $U(2^n)$ مورد استفاده قرار می‌گیرد، سپس در ادامه با تعیین سطح تجزیه l ($l \geq 3$)، سنتز QSD متوقف شده و ماتریس‌های باقیمانده در روند الگوریتم بازگشتی سنتز با استفاده از روش CSD سنتز شده و بهینه‌سازی‌هایی که در روند سنتز لحاظ شده‌اند، جایگزین می‌شوند. بهینه‌سازی‌های اعمال شده بدین ترتیب هستند که می‌توان گیت‌های قطری Δ_l را که در ماتریس‌های یکانی l کیوبیتی سنتز شده به روش CSD تولید می‌شوند از خطوط کنترلی گیت‌های R_p مالتی پلکس شده ($p \in \{y, z\}$) عبور داده و با ماتریس‌های مجاور ادغام نمود.



شکل ۱۵: مدار حاصل از سنتز پنج کیوبیتی با روش BQD با فرض سطح تجزیه [۴۲]

در این مقاله، مدار حاصل از سنتز یک ماتریس یکانی l کیوبیتی به روش CSD که گیت قطری از آن مدار حذف شده است با نام بلوک پایه l کیوبیتی بیان شده است. در این مقاله، یک بلوک پایه l کیوبیتی با نماد $C(2^l)$ مشخص می‌شود. به طور مثال در شکل (۱۴)، بلوک پایه سه کیوبیتی به صورت $C(2^3)$ مشخص شده است. شکل نتیجه حاصل از سنتز گیت دلخواه پنج کیوبیتی را با روش BQD با فرض سطح تجزیه $L=3$ نشان می‌دهد. در شکل (۱۵) هر یک از بلوک‌های پایه سه کیوبیتی با C نمایش داده می‌شوند.

۳-۷- روش سنتز IBQD

در [۲۷]، یک روش بهبود یافته پارامتری برای سنتز مدارهای کوانتومی مبتنی بر روش BQD با نام IBQD^{۵۰} معرفی شد. روش IBQD یک روش پارامتری و کلی سنتز است که روش‌های پیشین از جمله CSD، QSD و BQD حالت‌های خاصی از آن می‌باشند. دو تابع هزینه کوانتومی و عمق برای مدارات تولیدشده در فضای جواب توسط این روش بر حسب پارامترهای روش محاسبه و سنتز با یافتن جواب‌های بهینه مربوط به این توابع هزینه انجام شد. نشان داده شد روش IBQD موازنه‌ای بین هزینه کوانتومی و عمق مدار ایجاد می‌کند. برای سنتز چهار کیوبیتی، IBQD در مقایسه با روش‌های QSD، CSD و BQD کم‌ترین هزینه کوانتومی را تولید می‌کند. نقاط کمینه برای هزینه عمق مدار در حالتی که روش IBQD معادل روش QSD است، رخ می‌دهد. همچنین با

توجه به این که مساحت مدار تابعی از معیار هزینه کلی گیت و زمان اجرای مدار تابعی از عمق مدار است، لذا مجموعه جواب‌های به دست آمده در روش IBQD موازنه‌ای بین مساحت و زمان اجرای مدارهای سنتز شده ایجاد می‌کنند.

به علاوه، روش IBQD می‌تواند نتایج بهتری از لحاظ هزینه کوانتومی و عمق مدار نسبت به روش BQD تولید کند.

۳-۸- سنتز مدار کوانتومی مبتنی بر بهینه‌سازی شبکه منطقی

در مقاله [۲۸]، از طریق بهینه‌سازی شبکه منطقی برای کاهش دادن معیار عمق T مدارهای کوانتومی استفاده کرده است. عمق ضریبی یک شبکه منطقی بر روی گیت‌های پایه $\{+, \otimes, \oplus, \ominus\}$ ، بزرگ‌ترین تعداد گیت‌های ۸ در هر مسیر از ورودی اولیه تا خروجی اولیه در شبکه است. به این منظور یک الگوریتم سنتز منطقی مبتنی بر برنامه‌نویسی پویا را برای کاهش عمق ضریبی شبکه‌های منطقی را پیشنهاد داده است که از شمارش برش^{۵۱}، تعادل درخت^{۵۲} و نمایش‌های مجموع حاصل ضرب انحصاری (ESOP)^{۵۳} استفاده می‌کند. همچنین این الگوریتم برای رمزنگاری و محاسبات کوانتومی کاربرد دارد، که در آن کاهش معیار عمق ضریبی مستقیماً به کاهش معیار عمق T مدار کوانتومی مربوطه ترجمه می‌شود. نتایج تجربی این مقاله بهبودهایی در معیار عمق T را نسبت به روش‌های پیشرفته بهینه‌سازی شده با دست در تعدادی از مدارهای کوانتومی به‌عنوان مثال، AES، SHA و محاسبات ممیز شناور نشان می‌دهد.

۳-۹- سنتز مدار کوانتومی با قابلیت تحمل پذیری اشکال

از آنجا که سیستم‌های کوانتومی بیشتر از محاسبات کلاسیک در معرض خطا هستند، مدارهای کوانتومی با قابلیت تحمل‌پذیری اشکال^{۵۴} برای پیاده‌سازی عملی مورد نیاز هستند.

طبق تعریف سنتز تحمل‌پذیر اشکال، در ابتدا عملگر یکانی ورودی با کمک یکی از روش‌های معمولی سنتز، تجزیه می‌شود و پس از آن گیت‌های تک کیوبیتی تولیدشده به مجموعه‌ی CTL تجزیه می‌شوند. بسیاری از کدهای تصحیح اشکال کوانتومی [۲۹] تا [۳۲] برای ممکن ساختن محاسبات تحمل‌پذیر اشکال ارائه شده‌اند که از گیت‌های کتابخانه حاوی گیت‌های کلیفورد و T استفاده می‌کنند. برخی پژوهش‌های اخیر در حوزه سنتز کوانتومی نیز به سنتز کوانتومی باهدف تحمل‌پذیری اشکال می‌پردازند. در این پژوهش‌های [۳۲] تا [۳۶] سنتز منطقی مدارهای کوانتومی عمدتاً با استفاده از کتابخانه گیت‌های کلیفورد و T صورت می‌گیرند.

همان‌طور که گفته شد، کتابخانه کلیفورد و T یک کتابخانه‌ی تقریباً جهانی هست. یکی از راهکارهایی که برای کاهش محدودیت این کتابخانه‌ی ارائه شده است، گسترش آن است [۳۴]، یعنی افزودن گیت‌های جدید به کتابخانه. این عمل سبب می‌شود در صورت وجود این گیت‌ها در مدار کوانتومی بدون خاصیت تحمل‌پذیر اشکال نیازی به سنتز آن نباشد. همین امر سبب بهبود هزینه‌های این سنتز خواهد شود. حتی باوجود گسترش کتابخانه باز هم امکان تجزیه‌ی دقیق یک گیت دلخواه به گیت‌های کلیفورد و T ، وجود ندارد.

۳-۹-۱- انواع سنتز بر پایه کتابخانه CTL

سنتزهای مختلفی که بر روی کتابخانه CTL انجام شده‌اند، به دو دسته تقسیم می‌شوند:

سنتز تقریبی^{۵۵}: در سنتز تحمل‌پذیر اشکال به‌طور معمول تجزیه‌ی نهایی به صورت تقریبی از عملگر یکانی دلخواه U بیان می‌شود. در این حالت عملگر تجزیه‌ی عملگر یکانی دلخواه U به صورت زنجیره‌ای از گیت‌ها طبق (۱۹) نمایش داده می‌شود، به نحوی V نزدیک‌ترین پاسخ به عملگر U باشد.

$$V \approx U = g_0 g_1 g_2 \dots g_n \quad (19)$$

فاصله‌ای که در انتها U و V با یکدیگر دارند، آستانه‌ی خطا^{۵۶} ϵ نامیده می‌شود. ϵ یک مقدار تجربی است و بر مبنای کاربرد تعریف می‌شود [۳۷-۳۹].

راه‌حلی برای مسئله سنتز تقریب مدار تک کیوبیتی در [۴۰] با استفاده از جستجوی ناآگاهانه^{۵۷} برای یافتن مدارهای بهینه پیشنهاد شد. با این حال، جستجوی ناآگاهانه به زمان اجرای نمایی نیاز دارد و به نظر می‌رسد که منابع محاسباتی کلاسیک برای مقادیر خطای تقریبی ϵ کمتر 10^{-4} به آخر می‌رسد. دقت تقریب را می‌توان با استفاده از الگوریتم Solovay-Kitaev [۴۱] با دنباله‌ای از گیت‌ها به طول $O\left(\log^{3.97}\left(\frac{1}{\epsilon}\right)\right)$ و با زمان اجرای $O\left(\log^{2.71}\left(\frac{1}{\epsilon}\right)\right)$ بهبود بخشید.

در [۴۲]، الگوریتمی همراه با پیاده‌سازی‌اش که تقریب‌های بهینه T ، دوران‌های Z تک کیوبیتی را با استفاده از مدارهای کوانتومی متشکل از گیت‌های Clifford+T پیدا می‌کند، ارائه شده است. الگوریتم پیشنهادی قادر به مدیریت اشکال در تقریب تا اندازه 10^{-15} است که منجر به طرح‌های مدار تک کیوبیتی بهینه مورد نیاز برای پیاده‌سازی الگوریتم‌های کوانتومی مقیاس پذیر می‌شود.

در مقاله [۳۴]، یک روش کارا برای سنتز مدار کوانتومی با قابلیت تحمل پذیری اشکال ارائه شده است. ورودی این سنتز یک مدار کوانتومی غیر FT و خروجی آن یک مدار FT بهینه شده برای شش PMD^{۵۸} مختلف است و همچنین از الگوریتم SKA^{۵۹} و جدول کش^{۶۰} برای گردآوری داده‌های کوانتومی استفاده کرده است. برای ارزیابی این سنتز از دو معیار هزینه استفاده می‌شود: تعداد عملیات اولیه^{۶۱} (ops) و چرخه‌های اجرای در مسیر بحرانی^{۶۲} (چرخه). نتایج نشان می‌دهد که با توجه به PMDهای مختلف به طور متوسط هزینه ۵۸٫۱ ops درصد تا ۸۷٫۰ درصد و هزینه چرخه بین ۴۲٫۸ تا ۷۶٫۴ درصد کاهش می‌یابد.

در مقاله [۴۳]، مدارهای کوانتومی از آشناری از گیت‌های کوانتومی تشکیل شده‌اند. در یک مدار منطقی کوانتومی ناآگاه از طراحی فیزیکی، فرض می‌شود که یک گیت بر روی مجموعه دلخواه کیوبیت‌ها، بدون در نظر گرفتن مکان فیزیکی کیوبیت‌ها، عمل می‌کند. با این حال، در واقعیت، کیوبیت‌های فیزیکی باید در یک شبکه قرار گیرند. هر گره از شبکه، یک کیوبیت را نشان می‌دهد. این شبکه یک معماری کامپیوتر کوانتومی را پیاده‌سازی می‌کند. یک محدودیت فیزیکی وجود دارد که اغلب اعمال می‌شود، که گیت‌های کوانتومی فقط می‌توانند روی کیوبیت‌های مجاور در شبکه کار کنند. بنابراین، اگر کیوبیت‌های مدار منطقی مجاور نباشند، باید یک کانال ارتباطی ساخته شود. این مقاله، ابزاری به نام سنتز مدار کوانتومی تحمل پذیر اشکال آگاه از طراحی فیزیکی (PAQCS)^{۶۳} را معرفی می‌کند. این روش شامل دو الگوریتم است: یکی برای قرار دادن کیوبیت فیزیکی و دیگری برای مسیریابی ارتباطات. با کمک این دو الگوریتم، سربار تبدیل یک مدار منطقی به فیزیکی به طور متوسط ۳۰٫۱ درصد نسبت به کار قبلی [۳۴] کاهش می‌یابد. الگوریتم‌های بهینه‌سازی در PAQCS بر روی مدارهای پیاده‌سازی شده با استفاده از عملیات کوانتومی که توسط دو توصیف مختلف ماشین فیزیکی کوانتومی و سه کد تصحیح خطای کوانتومی پشتیبانی می‌شوند، ارزیابی می‌شوند. آنها تعداد عملیات اولیه را ۱۱/۵٪-۶۸/۶٪ و تعداد چرخه‌های اجرا را ۱۶/۹٪-۵۹/۴٪ کاهش می‌دهند. یکی از معروف‌ترین الگوریتم‌هایی که در سنتز تقریبی استفاده می‌شود، الگوریتم STA^{۶۴} است. الگوریتم STA بهبود یافته الگوریتم فلور^{۶۵} است که در تعریف ۱-۲ بیان شده است.

تعریف ۲-۱: الگوریتم فلور برای تخمین گیت تک کیوبیتی ورودی به‌توالی از گیت‌های تک کیوبیتی مجموعه‌ی مرجع 5 استفاده می‌شود. در این الگوریتم در ابتدا برای گیت یکانی ورودی، توالی از گیت‌های مجموعه‌ی مرجع با طول مشخص، که معمولاً ۱۵ است، تعیین و در جدولی ذخیره می‌شود. در گام بعد برای تجزیه‌ی گیت یکانی با طول $N+1$ با کمک ساختار جستجوی درختی^{۶۶} در جدول به دست آمده، در میان تجزیه‌های با طول N جستجو می‌کند. در این جستجوی درختی از تجزیه‌ی مقادیر محاسبه شده پرش^{۶۷} می‌کند. در صورتی که تجزیه‌ی جدیدی محاسبه شود به مجموعه گیت به دست آمده افزوده خواهد شد. انجام جستجوی درختی سبب افزایش نمایی زمان اجرای الگوریتم می‌شود [۴۴].

در الگوریتم STA برای کاهش زمان جستجو در جدول موجود چندین راه‌کار ارائه شده است:

۱- **جستجوی دوطرفه**^{۶۸}: در این حالت دو جستجوی موازی از ابتدای جدول تا وسط آن و دیگری از وسط جدول تا انتهای آن انجام می‌شود. این روش جستجو سبب کاهش زمان اجرا به نصف زمان اجرای الگوریتم فلور می‌شود [۴۵].

۲- **افزایش دقت جستجو در نخستین مرحله**: این افزایش دقت سبب می‌شود زمان یافتن عملگرهای یکانی در جستجوهای بعدی کاهش یابد [۴۵].

با وجود این راه‌کارها برای کاهش زمان اجرای این الگوریتم، باز هم زمان اجرای آن به صورت نمایی است. کم بودن رشد تعداد گیت خروجی با کاهش آستانه‌ی خطا، مزیت این الگوریتم نسبت به الگوریتم SKA است. در مقابل، نمایی بودن زمان اجرا عیب این الگوریتم است [۴۵]. مرتبه‌ی محاسبه شده برای تولید تعداد گیت خروجی، از مرتبه‌ی $O\left(\log^{0.292}\right)$ است [۴۴].

سنتز دقیق: به صورت تجزیه‌ی دقیق حالت‌هایی از ورودی به کتابخانه‌ی CTL بیان می‌شود.

در [۴۲]، یک هم‌ارزی از مجموعه یکانی‌های قابل محاسبه توسط مدارها بر روی CTL و مجموعه یکانی‌هایی بر روی حلقه $\mathbb{Z}\left[1/\sqrt{2}, i\right]$ ^{۶۹}، در حالت تک کیوبیتی نشان داده شده است. سپس از یک الگوریتم سنتز کارآمد، با تضمین بهینه بودن دقیق بر روی تعداد گیت‌های هادامارد و T استفاده شده است. حدس زده می‌شود که این نوع هم‌ارزی در حالت n کیوبیتی هم برقرار است.

در [۴۶]، رویکرد در [۴۲] را به گیت‌های چند کیوبیتی گسترش داده و ثابت می‌شود که یک ماتریس یکانی n کیوبیتی نمایش دقیقی بر روی مجموعه گیت CTL با کیوبیت‌های کمکی محلی دارد، اگر و تنها اگر ورودی‌های آن در حلقه $\mathbb{Z}\left[1/\sqrt{2}, i\right]$ باشند. این روش از تجزیه به ماتریس‌های ۱ و ۲ سطحی استفاده می‌کند، که در آن همیشه یک کیوبیت کمکی کافی است. اگر ورودی‌های ماتریس روی n کیوبیت به صورت

$$\frac{a + b\sqrt{2} + i(c + d\sqrt{2})}{\sqrt{2}^k}$$

باشند، آنگاه این الگوریتم به کران بالایی از تعداد گیت‌های $O\left(3^{2n} nk\right)$ برای سنتز کردن این گیت‌هایی که با بهینه بودن فاصله زیادی دارد، منجر می‌شود.

در مقاله [۴۷]، به بررسی مشکلات موجود در روش سنتز ارائه شده در مقاله [۴۶] می‌پردازد و سعی در بهبود آن در سطح جهانی دارد و از نمودار تصمیم‌گیری چند مقداری کوانتومی^{۷۰} برای نمایش ماتریس به صورت کارا استفاده می‌کند. همچنین از گیت‌های کتابخانه کلیفورد و T استفاده کرده است و هدف اصلی تولید مدار با حداقل تعداد گیت

T است.

کوانتومی بهینه‌سازی شود. هدف اکثر الگوریتم‌های بهینه‌سازی کاهش تعداد گیت‌های T است. با این وجود، یک هدف بهینه‌سازی ثانویه باید به حداقل رساندن تعداد عملگرهای دوکیوبیتی (گیت‌های CNOT) باشد زیرا آن‌ها در مقایسه با عملگرهای تک کیوبیتی نرخ خطای بالاتری دارند. مقاله [۵۱] یک الگوریتم دقیق مبتنی بر SAT را برای بازنویسی مدار کوانتومی توسعه داده است که هدف آن کاهش گیت‌های CNOT بدون افزایش تعداد گیت‌های T است. این الگوریتم، حداقل اندازه مدار $\{CNOT, T\}$ را برای یک توصیف چندجمله‌ای پایه از یک تبدیل یکانی پیدا می‌کند. آزمایش‌ها کاهش CNOT در مدارهای کوانتومی با تعداد T بهینه‌سازی شده را تایید می‌کنند. این مقاله، مدارهای کوانتومی را برای همه گیت‌های تک هدفی که توابع کنترلی آن‌ها یکی از نمایندگان کلاس‌های هم‌ارزی طیفی ۴۸ تایی از توابع بولی با پنج ورودی هستند، ترکیب می‌کند. آزمایش‌های این مقاله کاهش متوسط تعداد CNOT برابر با ۲۶/۸۴٪ را نشان می‌دهد.

۳-۱۰-۳- سنتز کارای مدارهای کوانتومی در پیاده‌سازی عملگرهای گروه کلیفورد

مقاله [۴۹]، یک رویکرد سنتز خودکار برای مدارهای کوانتومی که عملگرهای گروه کلیفورد را پیاده‌سازی می‌کنند، ارائه شده است. این مدارها برای بسیاری از کاربردهای کوانتومی مانند مدارهای تثبیت کننده، مخابره از راه دور کوانتومی و غیره ضروری هستند و جنبه‌های اصلی عملکرد کوانتومی را پوشش می‌دهند. روش ارائه شده، برخلاف رویکردهای قبلی برای سنتز، از تکیه بر یک کتابخانه گیت عمومی اجتناب می‌کند و در عوض، از اثرات ویژه عملگرهای گروه کلیفورد در ماتریس یکانی که باید سنتز شود، بهره می‌برد. علاوه بر این، نمودارهای تصمیم‌گیری چندمقداری کوانتومی برای نمایش کارآمد این ماتریس‌ها استفاده می‌شود. نتایج تجربی تایید می‌کنند که این رهیافت، امکان تحقق فشرده عملکرد کوانتومی مربوطه را فراهم می‌کند. کار آینده بر گسترش روش پیشنهادی برای رسیدن به به عملکرد کوانتومی عمومی‌تر متمرکز است.

۳-۱۱-۳- سنتز کارای ماتریس‌های یکانی در کامپایلرهای مدار کوانتومی تجزیه یکانی یک روش پرکاربرد برای نگاشت الگوریتم‌های کوانتومی به مجموعه‌ای دلخواه از گیت‌های کوانتومی است. اجرای کارآمد این تجزیه امکان ترجمه گیت‌های یکانی بزرگ‌تر به عملگرهای کوانتومی ابتدایی را فراهم می‌کند، که کلید اجرای این الگوریتم‌ها در رایانه‌های کوانتومی موجود است. همچنین تجزیه می‌تواند به‌عنوان یک روش بهینه‌سازی تهاجمی برای کل مدار و همچنین برای آزمایش بخشی از یک الگوریتم بر روی یک شتاب‌دهنده کوانتومی^{۳۳} استفاده شود. برای انتخاب و اجرای الگوریتم تجزیه، کیوبیت‌های کاملی در نظر گرفته شده‌اند.

مقاله [۵۰]، تکنیک تجزیه خود را براساس QSD قرار می‌دهد که تعداد $O(4^n)$ گیت‌های غیرکنترلی را برای یک گیت ورودی n کیوبیتی ایجاد می‌کند. مدارهای حاصل تا ۱۰ برابر کوتاه‌تر از سایر روش‌ها در این زمینه هستند. در مقایسه این روش با ابزار Qubiter نشان داده شده است که این پیاده‌سازی مدارهایی با نصف تعداد گیت‌های CNOT و یک سوم طول کل مدار تولید می‌کند. علاوه بر آن، سرعت آن نیز تا ۱۰ برابر بیشتر است. بیشتر بهینه‌سازی‌ها برای بهره بردن از ساختار اساسی بالقوه در ماتریس‌های ورودی یا میانی و همچنین به حداقل رساندن زمان اجرای تجزیه پیشنهاد شده‌اند.

مقاله [۵۰]، تکنیک تجزیه خود را براساس QSD قرار می‌دهد که تعداد $O(4^n)$ گیت‌های غیرکنترلی را برای یک گیت ورودی n کیوبیتی ایجاد می‌کند. مدارهای حاصل تا ۱۰ برابر کوتاه‌تر از سایر روش‌ها در این زمینه هستند. در مقایسه این روش با ابزار Qubiter نشان داده شده است که این پیاده‌سازی مدارهایی با نصف تعداد گیت‌های CNOT و یک سوم طول کل مدار تولید می‌کند. علاوه بر آن، سرعت آن نیز تا ۱۰ برابر بیشتر است. بیشتر بهینه‌سازی‌ها برای بهره بردن از ساختار اساسی بالقوه در ماتریس‌های ورودی یا میانی و همچنین به حداقل رساندن زمان اجرای تجزیه پیشنهاد شده‌اند.

مقاله [۵۰]، تکنیک تجزیه خود را براساس QSD قرار می‌دهد که تعداد $O(4^n)$ گیت‌های غیرکنترلی را برای یک گیت ورودی n کیوبیتی ایجاد می‌کند. مدارهای حاصل تا ۱۰ برابر کوتاه‌تر از سایر روش‌ها در این زمینه هستند. در مقایسه این روش با ابزار Qubiter نشان داده شده است که این پیاده‌سازی مدارهایی با نصف تعداد گیت‌های CNOT و یک سوم طول کل مدار تولید می‌کند. علاوه بر آن، سرعت آن نیز تا ۱۰ برابر بیشتر است. بیشتر بهینه‌سازی‌ها برای بهره بردن از ساختار اساسی بالقوه در ماتریس‌های ورودی یا میانی و همچنین به حداقل رساندن زمان اجرای تجزیه پیشنهاد شده‌اند.

۳-۱۲-۳- سنتز مدارهای کوانتومی مبتنی بر $\{CNOT, T\}$

یک برنامه کوانتومی به صورت یک مدار کوانتومی کلیفورد+T مدل‌سازی شده است که باید به منظور مطابقت با محدودیت‌های تکنولوژی

مقاله [۵۲]، الگوریتمی را برای محاسبه تجزیه با عمق بهینه برای عملگرهای منطقی ارائه می‌کند، و از یک تکنیک ملاقات در وسط^{۳۴} برای ارائه سرعت قابل توجهی نسبت به الگوریتم‌های جستجوی ناآگاهانه ساده استفاده می‌کند. به‌عنوان مثال، این الگوریتم عوامل عملگرهای منطقی کوانتومی متداول را در گیت‌های ابتدایی در مجموعه کلیفورد و T به دست آورده است. به طور خاص، این روش تجزیه گیت تافولی را بر روی مجموعه‌ای از گیت‌های کلیفورد و T گزارش می‌کند. این تجزیه، به یک مقدار عمق کل T برابر با ۳ دست می‌یابد، در نتیجه کاهش ۴۰ درصدی نسبت به تجزیه شناخته شده قبلی برای گیت تافولی ایجاد می‌کند. با توجه به اندازه فضای جستجو، این الگوریتم فقط برای پارامترهای کوچک مانند تعداد کیوبیت‌ها و تعداد گیت‌ها برای اجرای بهینه عملی است.

مقاله [۵۰]، تکنیک تجزیه خود را براساس QSD قرار می‌دهد که تعداد $O(4^n)$ گیت‌های غیرکنترلی را برای یک گیت ورودی n کیوبیتی ایجاد می‌کند. مدارهای حاصل تا ۱۰ برابر کوتاه‌تر از سایر روش‌ها در این زمینه هستند. در مقایسه این روش با ابزار Qubiter نشان داده شده است که این پیاده‌سازی مدارهایی با نصف تعداد گیت‌های CNOT و یک سوم طول کل مدار تولید می‌کند. علاوه بر آن، سرعت آن نیز تا ۱۰ برابر بیشتر است. بیشتر بهینه‌سازی‌ها برای بهره بردن از ساختار اساسی بالقوه در ماتریس‌های ورودی یا میانی و همچنین به حداقل رساندن زمان اجرای تجزیه پیشنهاد شده‌اند.

مقاله [۵۰]، تکنیک تجزیه خود را براساس QSD قرار می‌دهد که تعداد $O(4^n)$ گیت‌های غیرکنترلی را برای یک گیت ورودی n کیوبیتی ایجاد می‌کند. مدارهای حاصل تا ۱۰ برابر کوتاه‌تر از سایر روش‌ها در این زمینه هستند. در مقایسه این روش با ابزار Qubiter نشان داده شده است که این پیاده‌سازی مدارهایی با نصف تعداد گیت‌های CNOT و یک سوم طول کل مدار تولید می‌کند. علاوه بر آن، سرعت آن نیز تا ۱۰ برابر بیشتر است. بیشتر بهینه‌سازی‌ها برای بهره بردن از ساختار اساسی بالقوه در ماتریس‌های ورودی یا میانی و همچنین به حداقل رساندن زمان اجرای تجزیه پیشنهاد شده‌اند.

یک برنامه کوانتومی به صورت یک مدار کوانتومی کلیفورد+T مدل‌سازی شده است که باید به منظور مطابقت با محدودیت‌های تکنولوژی

جدول ۱: خلاصه‌ای از برخی مقالات مرتبط با سنتز مدارهای کوانتومی مبتنی بر الگوریتم‌های ریاضی منتشرشده در مدل مداری کوانتومی

مرجع	سال انتشار	نوع الگوریتم	نکته قابل توجه
[۲۱]	۲۰۰۱	استفاده از تجزیه QR در جبر خطی	تعداد گیت‌های CNOT در مرتبه $O(n^3 4^n)$
[۲۲]	۲۰۰۴	استفاده از Highest Lower Bound	تعداد گیت‌ها به $[(1/4)(4^n - 3n - 1)]$ رسید
[۲۴]	۲۰۰۴	استفاده از CSD	تعداد گیت‌ها به $(4^n - 2^{n+1})$ رسید
[۹]	۲۰۰۵	بهبود روش CSD	تعداد گیت‌ها به $2^n - 2 - \frac{1}{2} 4^n$ رسید و تعداد کمتری از گیت‌های تک کیوبیتی را تولید می‌کند.
[۸]	۲۰۰۶	سنتزی مبتنی بر تجزیه CS با عنوان QSD	تولید $(2^3/48)4^n - (3/2)2^n + \frac{4}{3}$ تعداد گیت CNOT
[۲۶]	۲۰۱۱	Block-Based Quantum Decomposition (BQD)	ترکیبی از دو روش CSD و QSD
[۴۵]	۲۰۱۳	طراحی یک روش سنتز دقیق با توجه به کتابخانه کلیفورد و T	استفاده از کیوبیت‌های کمکی برای عملگرهای کلیفورد و T، تعداد کل گیت‌های ابتدایی این کتابخانه به کار رفته $O(3^{2n} nk)$. مؤلفه k (مخرج ^{۷۵} است)
[۵۲]	۲۰۱۳	الگوریتم Meet-in-the-Middle برای سنتز سریع مدارهای کوانتومی با عمق بهینه	از گیت‌های کتابخانه کلیفورد و T استفاده کرده است و هدف اصلی تولید مدار با تعداد حداقل گیت T است.
[۴۹]	۲۰۱۴	استفاده از رویکرد سنتز خودکار، عدم تکیه بر کتابخانه گیت عمومی و استفاده از نمودارهای تصمیم‌گیری چندمقداری کوانتومی	نتایج تجربی تایید می‌کنند که این امکان تحقق فشرده عملکرد کوانتومی مربوطه را فراهم می‌کند
[۲۷]	۲۰۱۶	IBQD	فضای جستجوی بزرگ‌تری را برای یافتن بهترین جواب از لحاظ معیارهای مختلف سنتز مداری جستجو می‌کند و همچنین از ارزیابی معیار عمق مدار استفاده می‌کند
[۵۱]	۲۰۱۸	توسعه یک الگوریتم دقیق مبتنی بر SAT را برای بازنویسی مدار کوانتومی	کاهش تعداد گیت‌های T و به حداقل رساندن تعداد عملگرهای دوکیوبیتی (گیت‌های CNOT)
[۴۷]	۲۰۲۰	بهبود روش سنتز دقیق پیشنهاد شده توسط [۴۶] در سطح جهانی و استفاده از Quantum Multiple-Valued Decision Diagram برای نمایش ماتریس به صورت کارا	از گیت‌های کتابخانه کلیفورد و T استفاده کرده است و هدف اصلی تولید مدار با تعداد حداقل گیت T است.
[۲۸]	۲۰۲۲	سنتز منطقی مبتنی بر برنامه‌نویسی پویا و بهینه‌سازی شبکه منطقی	هدف اصلی کاهش عمق T
[۴۸]	۲۰۲۲	ارائه یک سنتز منطقی با قابلیت تحمل‌پذیری اشکال با استفاده از کدهای پیوسته	استفاده از معیار NNC
[۵۰]	۲۰۲۲	تکنیک تجزیه مبتنی بر QSD	ایجاد تعداد $O(\frac{3}{4} 4^n)$ گیت‌های غیرکنترلی برای یک گیت ورودی n کیوبیتی و همچنین به حداقل رساندن زمان اجرای تجزیه

10 Outer Product

11 Qubit

12 Superposition

13 Unitary

14 Pauli

15 Identity

16 Bit Flip

17 Phase Flip

18 Hadamard gate

19 Phase rotation

20 Controlled-U

21 Controlled-NOT

22 Uniformly-controlled multiqubit gate

23 Feedback

24 Fan out

25 Clifford+T library

26 Logical level

مورد تاکید و اهمیت هستند. به عنوان یک کار آتی، پیشنهاد می‌شود به روش‌های سنتز منطقی در مدل محاسبات کوانتومی یک‌طرفه پرداخته شود.

پی‌نوشت‌ها

1 Charles H. Benet

2 Paul A. Benioff

3 David Deustch

4 Richard P. Feynman

5 Moore's Law

6 Peter Shor

7 Bra/Ket

8 Transpose Conjugate

9 Inner Product

- Symposium on Foundations of Computer Science, 1994.
- [8] P. W. Shor, "Polynomial-Time Algorithms for Prime Factorization and Discrete Logarithms on a Quantum Computer," *SIAM Journal on Scientific Computing*, vol. 26, 1997.
- [9] L. K. Grover, "A Fast Quantum Mechanical Algorithm for Database Search," in *Proceedings of the 28th Annual ACM Symposium on the Theory of Computing (STOC)*, 1996, pp. 212-219.
- [10] V. V. Shende, S. S. Bullock, and I. L. Markov, "Synthesis of quantum-logic circuits," *IEEE Trans. On CAD*, vol. 25, no. 6, pp. 1000-1010, Jun. 2006.
- [11] V. Bergholm, J. J. Vartiainen, M. Mottonen, and M. M. Salomaa, "Quantum circuits with uniformly controlled one-qubit gates," *Physical Review A*, vol. 71, no. 5, pp. 23-30, May 2005.
- [12] A. U. Khalid, "FPGA Emulation of Quantum Circuits." Vol. MS thesis: McGill University, 2005.
- [13] D. Maslov, G. W. Dueck, D. M. Miller and C. Negrevergne. "Quantum Circuit Simplification and Level Compaction." *IEEE Transactions on CAD* 27: 436-444, 2008
- [14] R. Wille, and R. Drechsler, "BDD-Based Synthesis of reversible logic for large functions", *Proceedings of the 46th Annual Design Automation Conference*, Pages 270–275, July 2009.
- [15] D.M. Miller, R. Wille, and R. Drechsler, "Reducing reversible circuit cost by adding lines", *40th IEEE International Symposium on Multiple-Valued Logic*, 2010
- [16] D. Maslov, and M. Saeedi, "Reversible circuit optimization via leaving the Boolean domain.", *IEEE Transactions on Computer-Aided Design of Integrated Circuits and Systems* 30.6, p.p 806-816, 2011.
- [17] D. Maslov, G. W. Dueck, D. M. Miller, and C. Negrevergne, "Quantum circuit simplification and level compaction", *IEEE Transactions on Computer-Aided Design of Integrated Circuits and Systems*, 27(3), p.p 436-444, 2008.
- [18] G. B. Charles. H Bennet, "Quantum Cryptography: Public Key Distribution and Coin Tossing," in *Proceeding of IEEE International Conference on Computer System and Signal Processing* New York, 1984, pp. 175-179.
- [19] C. H. Bennett, G. Brassard, C. Crepeau, R. Jozsa, A. Peres, and W. K. Wootters, "Teleporting an Unknown Quantum State via Dual Classical and Einstein-Podolsky-Rosen Channels", *Physical Review Letters*, vol. 70, pp. 1895-1899.
- [20] C. H. Bennett and S. J. Wiesner, "Communication via One- and Two-Particle Operators on Einstein Podolsky-Rosen states", *Physical Review Letters*, vol. 69, pp. 2881-2884. November. 1992
- [21] G. Cybenko, "Reducing quantum computations to elementary unitary operations", *Computing in Science and Engineering*, vol. 3, no. 2, pp. 27-32. Mar./Apr. 2001.
- [22] V. V. Shende, I. L. Markov, and S. S. Bullock, "Minimal universal two-qubit quantum circuits", *Physical Review A*, vol. 69, pp. 062329-062321. Jun. 2004.
- [23] C. C. Paige, and M. Wei, "History and Generality of the CS Decomposition". *Linear Algebra and Applications* 303-326: 208-1994, 326
- [24] M. Mottonen, J. J. Vartiainen, V. Bergholm, and M. M. Salomaa, "Quantum circuits for general multiqubit gates", *Physical Review Letters*, vol. 93, p. 130502. Sep. 2004.
- [25] M. A. Nielsen, and I. L. Chuang, "Quantum Computation and Quantum Information", *Cambridge University Press*. 2010.
- [26] M. Saeedi, M. Arabzadeh, M. Saheb Zamani, and M. Sedighi, "Block-based quantum-logic synthesis", *Quantum Information and Computation* J., vol. 11, no. 3, pp. 262-277. Mar. 2011.
- [27] کوروش مرجوعی، محبوبه هوشمند، مرتضی صاحبزادمانی و مهدی صدیقی، "سنتر مدارهای کوانتومی با استفاده از روش مبتنی بر بلوک بهبود یافته"، *نشریه مهندسی برق و مهندسی کامپیوتر ایران*، ب- مهندسی کامپیوتر، سال ۱۴، شماره ۳، صفحه ۲۳۹-۲۴۸، پاییز ۱۳۹۵
- [28] Häner, Thomas, and Mathias Soeken. "Lowering the T-depth of quantum circuits via logic network optimization". *ACM Transactions on Quantum Computing*. 2022, 3.21-15
- [29] M. Steane, "Error correcting codes in quantum theory", *Phys. Rev. Lett.*, vol. 77, no. 5, pp. 793-797. Jul. 1996.
- [30] D. Bacon, "Operator quantum error-correcting subsystems for self-correcting quantum memories", *Phys. Rev. A*, vol. 73, 27 Logical depth
- 28 Nearest Neighbor Cost
- 29 T-count
- 30 T-depth
- 31 ancillaqubit
- 32 Multi-objective Optimization Problem
- 33 Object function
- 34 Restriction
- 35 feasible region
- 36 feasible solution
- 37 Optimization variables
- 38 Quantum Key Distribution
- 39 Quantum Teleportation
- 40 Dense Coding
- 41 Technology independent synthesis
- 42 Highest Lower Bound
- 43 Cosine-Sine Decomposition
- 44 Ruler function
- 45 Quantum Shannon Decomposition
- 46 Symmetric
- 47 Level
- 48 Block-Based Quantum Decomposition
- 49 Trade-off
- 50 Improved-BQD
- 51 cut enumeration
- 52 tree balancing
- 53 exclusive sum-of-products representations
- 54 Fault-Tolerant
- 55 Approximation synthesis
- 56 Error Threshold
- 57 brute force
- 58 physical machine description
- 59 kipping table algorithm
- 60 cache table
- 61 number of primitive operations
- 62 execution cycles on the critical path
- 63 Physical Design-Aware Fault-Tolerant Quantum Circuit Synthesis
- 64 Skipping Table Algorithm
- 65 Flower's algorithm
- 66 Tree lookup structure
- 67 Skip
- 68 Bidirectional search
- 69 Ring
- 70 Quantum Multiple-Valued Decision Diagram
- 71 concatenated codes
- 72 topological codes
- 73 quantum accelerator
- 74 Meet-in-the-middle
- 75 denominator exponent

مراجع

- [1] Gordon E Moore, *Cramming more components onto integrated circuits*, 1965
- [2] M. A. Nielsen and I. L. Chuang, "Quantum Computation and Quantum Information," *Cambridge university press*, 2001.
- [3] G. Benenti, G. Casati, and G. Strini, "Principles of Quantum Computation and Information," *Basic concepts: World Scientific Publishing*, vol. 1, 2004.
- [4] M. Nakahara and T. Ohmi, "Quantum Computing From Linear Algebra to Physical Realizations," *Taylor & Francis*, 2008.
- [5] M. Lukac, M. Perkowski, H. Goi, M. Pivtoraiko, C. H. Yu, K. Chung, H. Jee, B. J. Kim, and Y. D. Kim, "Evolutionary Approach to Quantum and Reversible Circuit Synthesis," in *Artificial Intelligence Review*. vol. 20, pp. 361-417, 2003.
- [6] آرزو رجایی، محبوبه هوشمند، سید عابد حسینی، "مروری بر سنتر مدارهای کوانتومی با استفاده از الگوریتم‌های تکاملی"، *نشریه عصر برق*، دوره ۸، شماره ۱۵ (تابستان ۱۴۰۰)
- [7] P. W. Shor, "Algorithms for Quantum Computation: Discrete Logarithms and Factoring", in *Proceedings of the 35th Annual*

- [12] N. Bhusal, M. Abdelmalak, M. Kamruzzaman, and M. Benidir, "Power system resilience: Current practices, challenges, and future directions," *IEEE Access*, vol.8, pp.18064–18086, 2020.
- [13] J. Lu, J. Guo, Z. Jian, Y. Yang, and W. Tang, "Resilience Assessment and Its Enhancement in Tackling Adverse Impact of Ice Disasters for Power Transmission Systems," *Energies*, vol.11, no. 9, 2018.
- [14] H. Raoufi, V. Vahidinasab, and K. Mehran, "Power systems resilience metrics: A comprehensive review of challenges and outlook," *Sustain. Switz.*, vol.12, no. 22, pp.1–24, 2020.
- [15] Z. Zeng, S. Du, and Y. Ding, "Resilience analysis of multi-state systems with time-dependent behaviors," *Appl. Math. Model.*, vol.90, pp.889–911, 2021.
- [16] D. K. Mishra, M. J. Ghadi, A. Azizivahed, L. Li, and J. Zhang, "A review on resilience studies in active distribution systems," *Renew. Sustain. Energy Rev.*, vol.135, no. March 2020, 2021.
- [17] L. Das, S. Munikoti, B. Natarajan, and B. Srinivasan, "Measuring smart grid resilience: Methods, challenges and opportunities," *Renew. Sustain. Energy Rev.*, vol.130, p.109918, 2020.
- [18] S. S. H. Toroghi and V. M. Thomas, "A framework for the resilience analysis of electric infrastructure systems including temporary generation systems," *Reliab. Eng. Syst. Saf.*, vol.202, p.107013, 2020.
- [19] H. Sabouhi, A. Doroudi, M. Fotuh, F. Irizabadi, and M. Bashiri, "Electrical Power System Resilience Assessment: A Comprehensive Approach," *IEEE Syst. J.*, vol.14, pp.2643–2652, 2020.
- [20] "The Economic Design of a Smart Microgrid Considering the Reliability Indices Using the PSO Algorithm," *kaeeee*, vol.6, no. 12, pp.6–14, Aug. 2019.
- [21] "Determination of Optimal Location and Size of Distribution Substations to Reduce Cost, Losses and Improve Reliability," *kaeeee*, vol.7, no. 13, pp.41–51, Sep. 2020.
- [22] J. Nelson, N. G. Johnson, K. Fahy, and T. A. Hansen, "Statistical development of microgrid resilience during islanding operations," *Appl. Energy*, vol.279, no. July, p.115724, 2020.
- [23] A. Younesi, H. Shayeghi, P. Siano, A. Safari, and H. H. Alhelou, "Enhancing the Resilience of Operational Microgrids through a Two-Stage Scheduling Strategy Considering the Impact of Uncertainties," *IEEE Access*, vol.9, pp.18454–18464, 2021.
- [24] S. Mojtahedzadeh, S. Najafi Ravadanegh, and M. R. Haghi-fam, "Microgrid-based resilient distribution network planning for a new town," *IET Renew. Power Gener.*, vol.15, no. 15, pp.3524–3538, 2021.
- [25] B. Venkateswaran V, D. K. Saini, and M. Sharma, "Techno-economic hardening strategies to enhance distribution system resilience against earthquake," *Reliab. Eng. Syst. Saf.*, vol.213, no. December 2020, p.107682, 2021.
- [26] J. Najafi, A. Anvari-Moghaddam, M. Mehrzadi, and C. L. Su, "An Efficient Framework for Improving Microgrid Resilience against Islanding with Battery Swapping Stations," *IEEE Access*, vol.9, pp.40008–40018, 2021.
- [27] H. Mehrjerdi, "Resilience improvement with zero load curtailment by multi-microgrid based on system of systems," *IEEE Access*, vol.8, pp.198494–198502, 2020.
- [28] S. A. Sedgh, M. Doostizadeh, F. Aminifar, and M. Shahidehpour, "Resilient-enhancing critical load restoration using mobile power sources with incomplete information," *Sustain. Energy Grids Netw.*, vol.26, p.100418, 2021.
- [29] "Specializing in Lithium Batteries, Chargers, Solar Storage," Electric Car Parts Company.
- [30] R. Nourollahi, P. Salyani, K. Zare, and B. Mohammadi-Ivataloo, "Resiliency-oriented optimal scheduling of microgrids in the presence of demand response programs using a hybrid stochastic-robust optimization approach," *Int. J. Electr. Power Energy Syst.*, vol.128, no. January, p.106723, 2021.
- no ,1 .pp ,4013 34001-012 012 .Jan.2006 .
- [31] D. Forney, M. Grassl, S. Guha, "Convolutional and tail-biting quantum error-correcting codes," *IEEE Trans. On Information Theory*, vol ,53 .no ,3 .pp ,865-880 .Mar.2007 .
- [32] M. Houshmand, S. Hosseini-Khayat, and M. M. Wilde, "Minimal memory, non-catastrophic, polynomial-depth quantum convolutional encoders," *IEEE Trans. On Information Theory*, vol ,59 .no ,2 .pp ,1198-1210 .Feb.2013 .
- [33] V. Kliuchnikov, D. Maslov, and M. Mosca, "Exact synthesis of multiqubit Clifford+T circuits generated by Clifford and T gates," *Quantum Information and Computation*, vol ,13 .no ,7-8 .pp ,607-630 Jul.2013 .
- [34] C. Lin and A. Chakrabarti, "FTQLS: fault-tolerant quantum logic synthesis," *IEEE Trans. On VLSI Systems*, vol ,22 .no ,6 .pp ,1363 -1350 .Jun.2013 .
- [35] V. Kliuchnikov, D. Maslov, and M. Mosca, "Fast and Clifford exact synthesis of single qubit unitaries generated by Clifford and T gates," *Quantum Information and Computation*, vol ,13 .no.2013 ,8–7 .
- [36] Y. G. Chen, J. B. Wang, "Qcompiler: Quantum compilation with the CSD method," *Computer Physics Communications*, 184no ,3 .pp ,853-865 .March.2013
- [37] M. Whiteny, "Practical fault-tolerance for quantum circuits," Ph.D. Thesis, University of California, Berkeley, 2009 .
- [38] X. Zhou, D. W. Leung, I. L. Chuang, "Methodology for quantum logic gate construction," *Physical Review A*, vol ,62 .pp ,052316 .October.2000
- [39] A. G. Fowler, A. M. Stephens, P. Groszkowski, "High-threshold universal quantum computation on the surface code," *Physical Review A*, vol ,80 .pp ,052312-14–052312-1. November 2009
- [40] A. G. Fowler, "Constructing arbitrary Steane code single logical qubit fault-tolerant gates," *Quantum Information and Computation*, vol ,11 .no ,9-10 .pp ,873–867 .September.2011
- [41] C. Dawson and M. Nielsen, "The Solovay-Kitaev algorithm," *Quantum Information and Computation*, vol ,77 .no ,5 .pp–793. 1996,797
- [42] V. Kliuchnikov, D. Maslov, and M. Mosca, "Practical approximation of single-qubit unitaries by single-qubit quantum Clifford and T circuits," arXiv. 1212.6964:
- [43] C. Lin, S. Sur-Kolay, and N. K. Jha, "PAQCS: Physical Design-Aware Fault-Tolerant Quantum Circuit Synthesis," *IEEE Transactions on Very Large Scale Integration (VLSI) Systems*, Volume: 23, Issue: 7, July 2015
- [44] A. G. Fowler, "Constructing arbitrary Steane code single logical qubit fault-tolerant gates," arXiv preprint quant-ph: 0411206, 4, 2004.
- [45] J. Booth, "Quantum compiler optimizations," arXiv: 1206.3348v1, 2012.
- [46] B. Giles and P. Selinger, "Exact synthesis of multiqubit Clifford+T circuits," *Physical Review A*, vol ,87 .no ,3 .p,032332 .3102 .raM
- [47] Philipp Niemann, Robert Wille, and Rolf Drechsler, "Advanced exact synthesis of Clifford+T circuits," *Quantum Information Processing*, pp.19-317, 2020.
- [48] Y. HWANG, "Fault-tolerant circuit synthesis for universal fault-tolerant quantum computing," *arXiv preprint arXiv: 2022.02691*.
- [49] P. Niemann, R. Wille, and R. Drechsler, "Efficient synthesis of quantum circuits implementing Clifford group operations." 2014 19th Asia and South Pacific Design Automation Conference (ASP-DAC). IEEE, 2014.
- [50] A. M. Krol, et al. "Efficient decomposition of unitary matrices in quantum circuit compilers." *Applied Sciences* 12.2. 759. 2022
- [51] G. Meuli, M. Soeken, G. D. Micheli, "SAT-based {CNOT, T} quantum circuit synthesis," *International Conference on Reversible Computation. Springer, Cham*, p. 175-188, 2018.
- [52] M. Amy, et al., "A meet-in-the-middle algorithm for fast synthesis of depth-optimal quantum circuits," *IEEE Transactions on Computer-Aided Design of Integrated Circuits and Systems* 32.6, p.p 818-830, 2013
